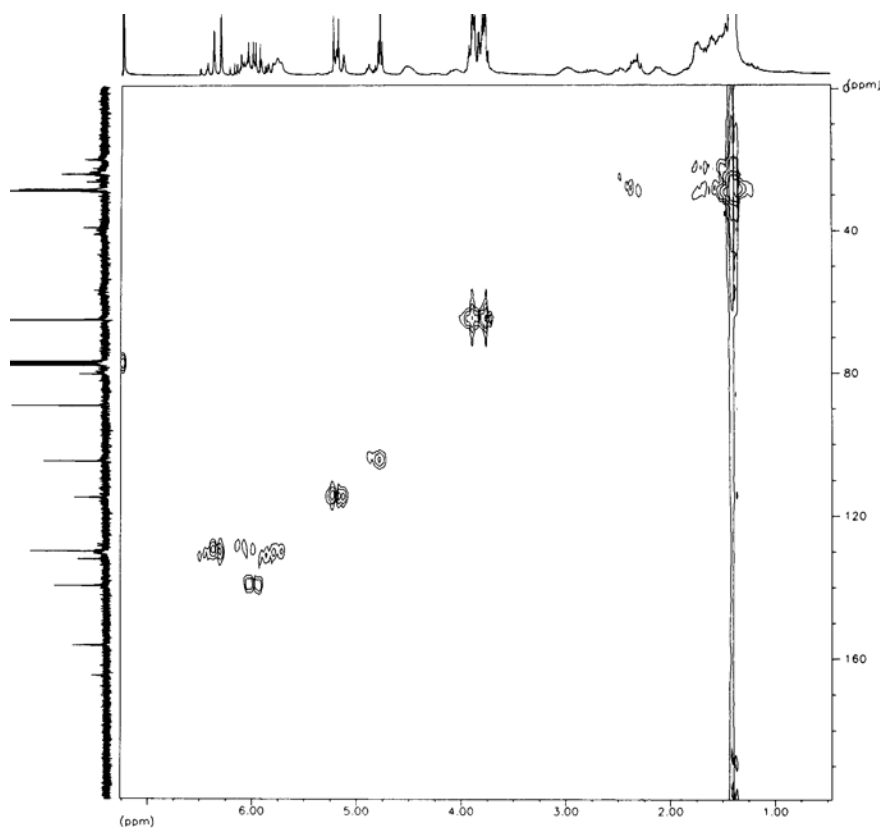
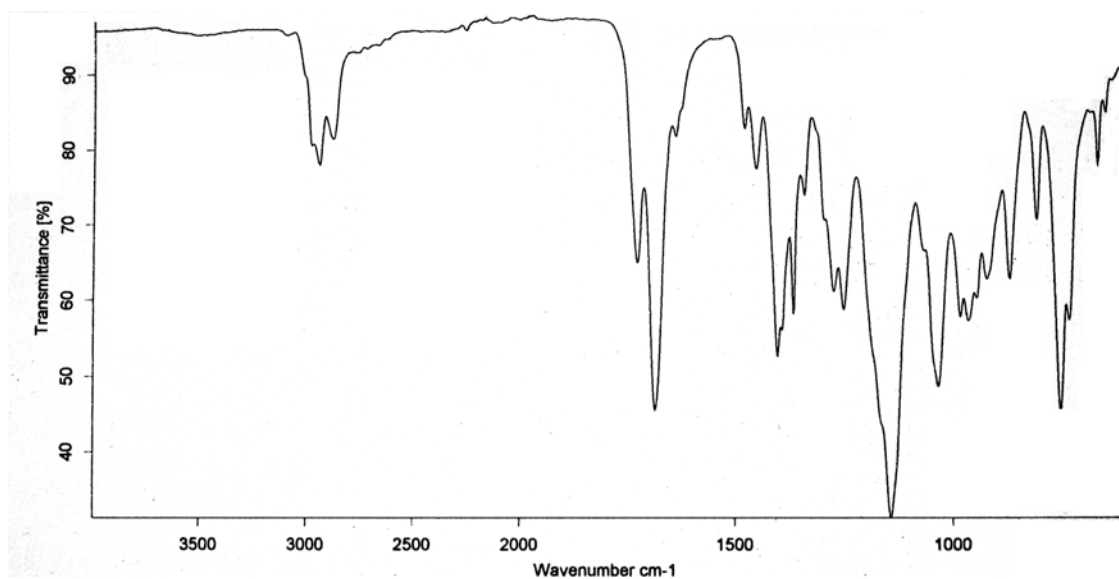


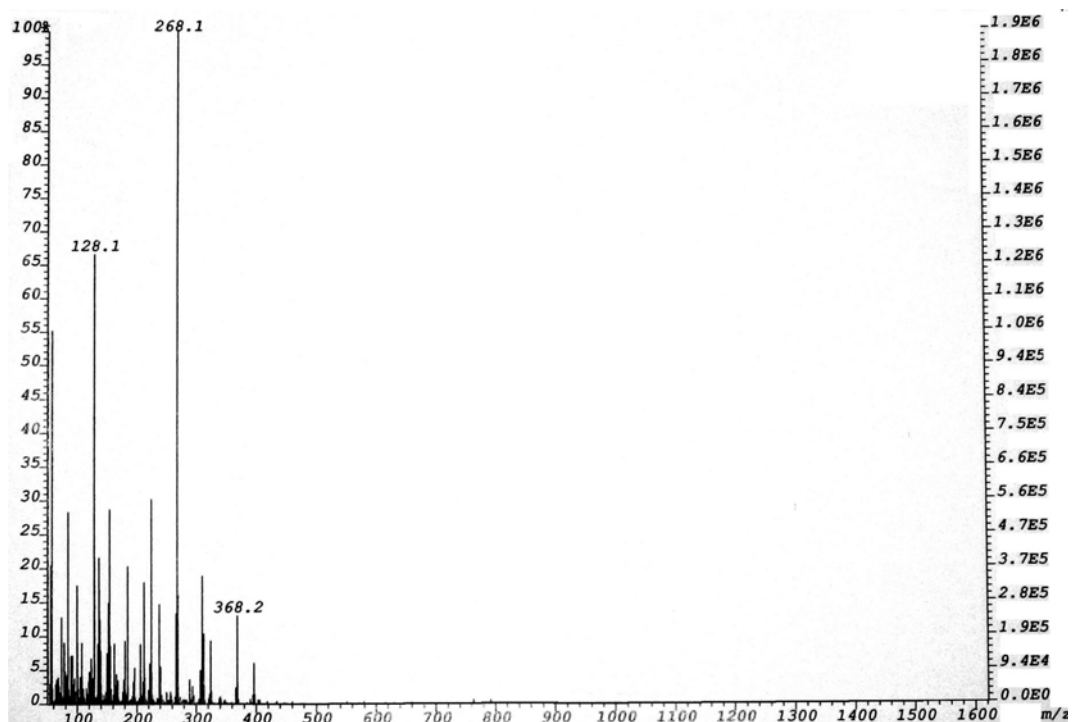
COSY (250 MHz, CDCl₃) d'una barreja 6/1 de 56 i 57



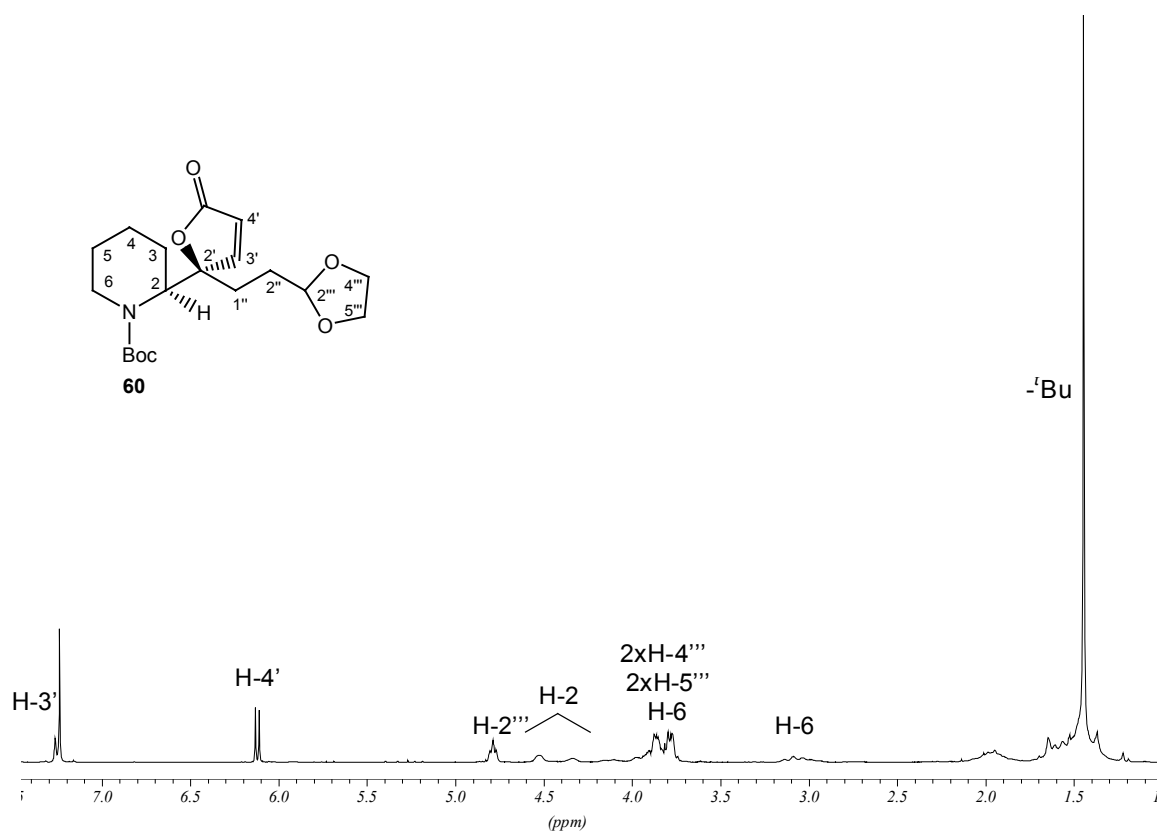
Correlació ¹H/¹³C (250 MHz, CDCl₃) d'una barreja 6/1 de 56 i 57



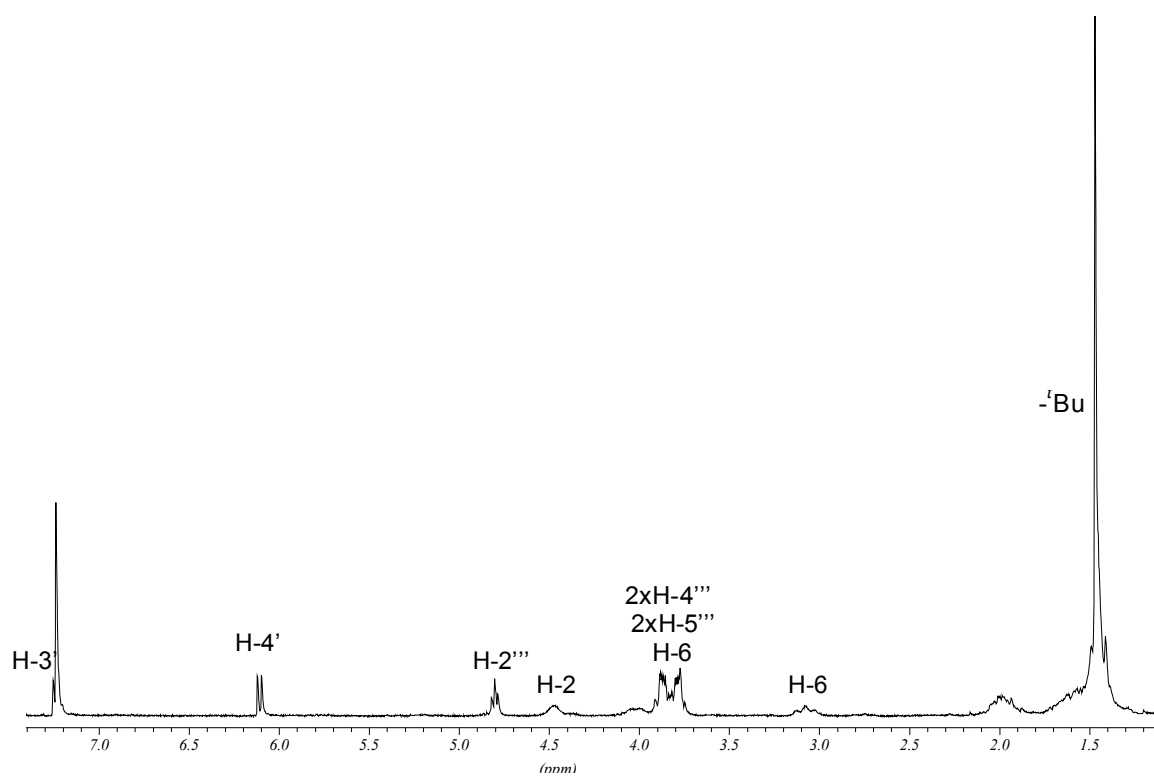
IR (ATR) d'una barreja 6/1 de 56 i 57



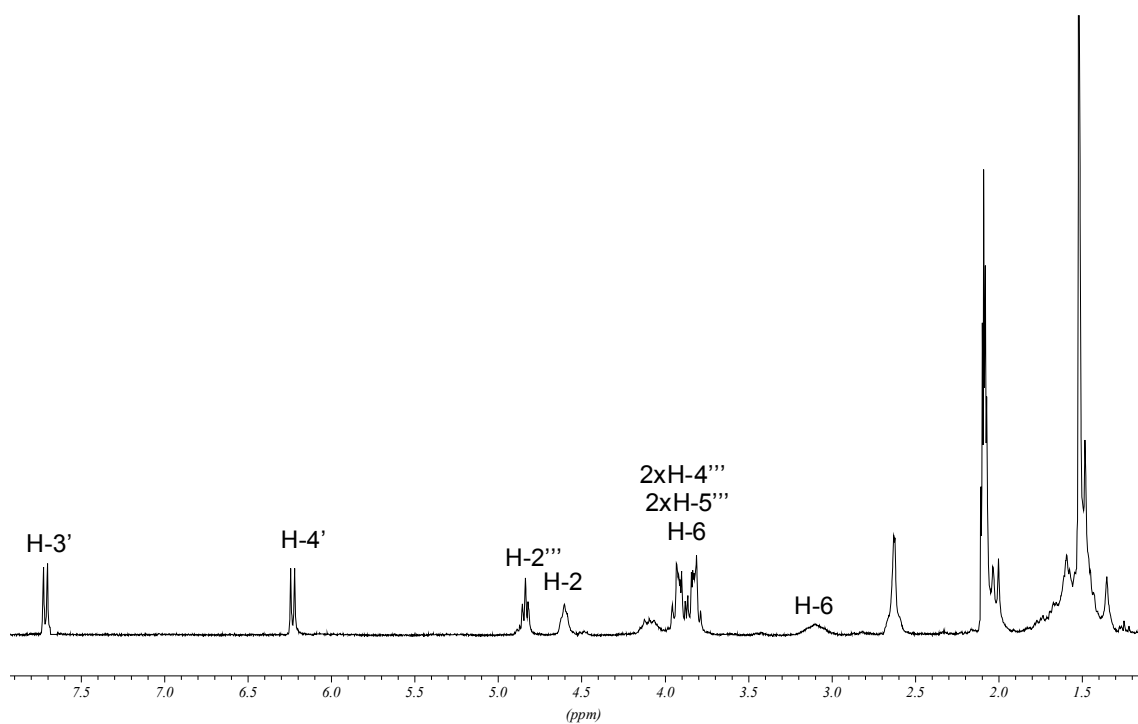
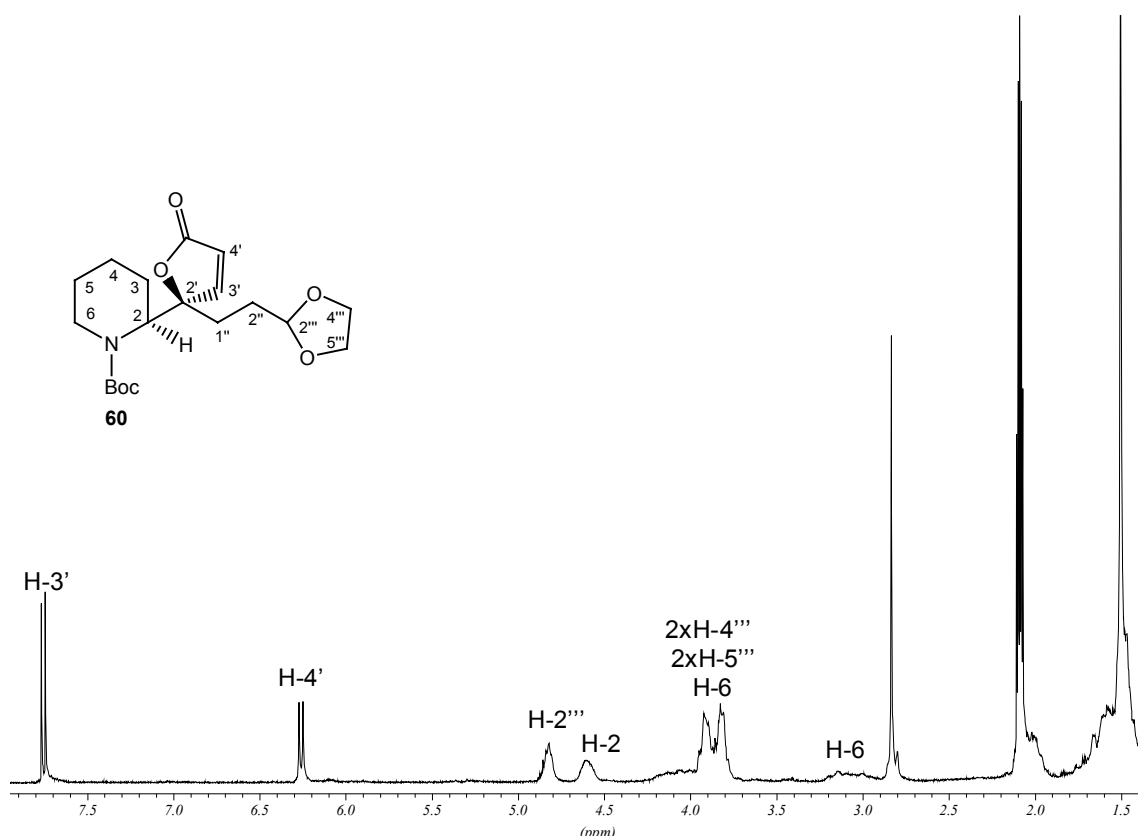
EM d'una barreja 6/1 de 56 i 57

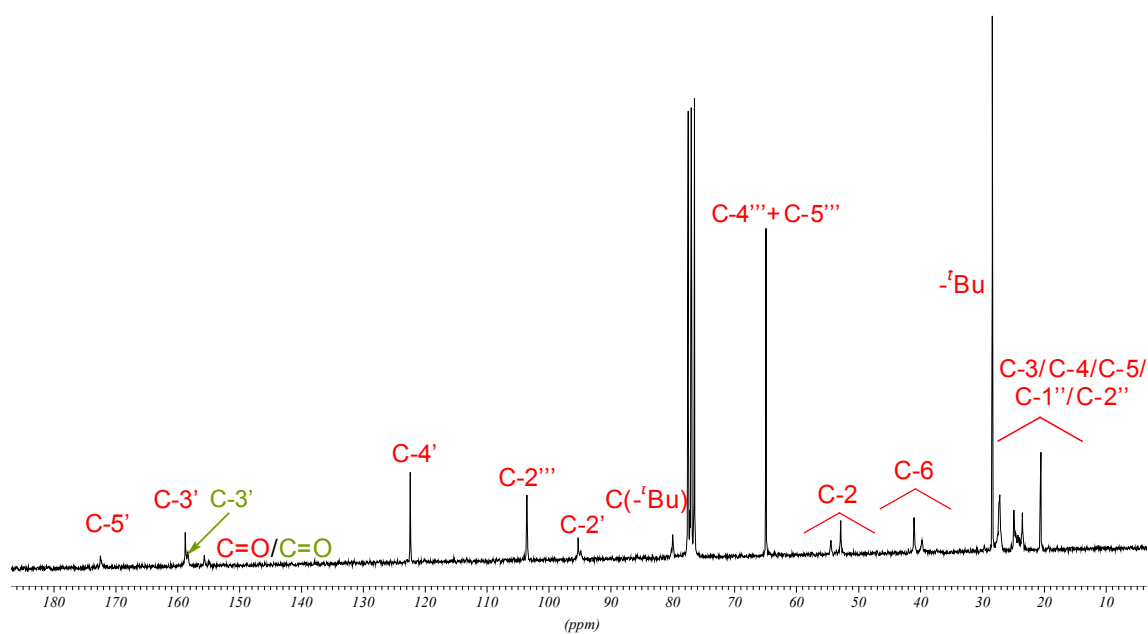
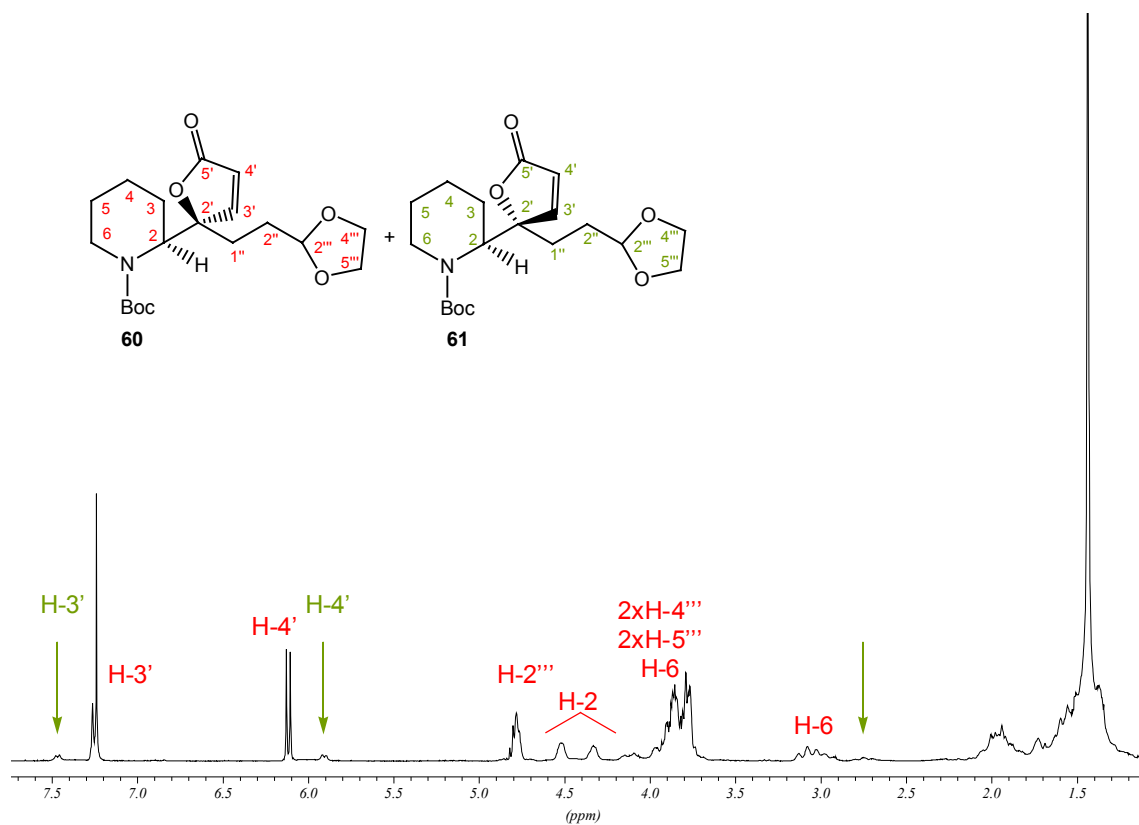


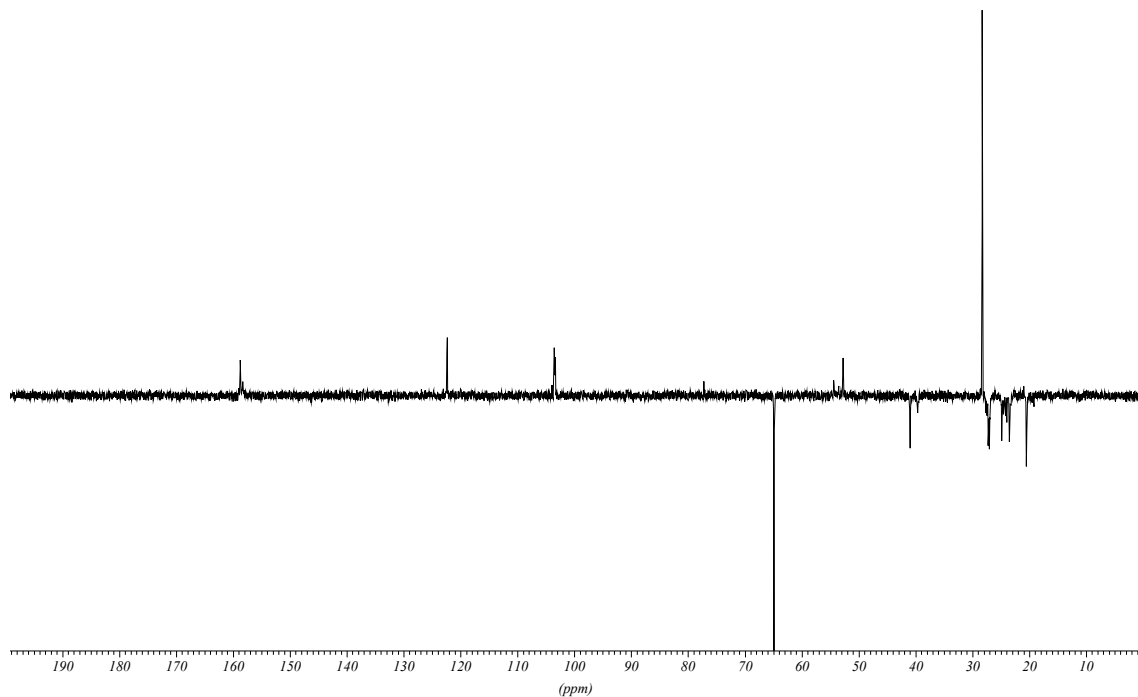
$^1\text{H-NMR}$ (250 MHz, CDCl_3) de **60** a 297 K



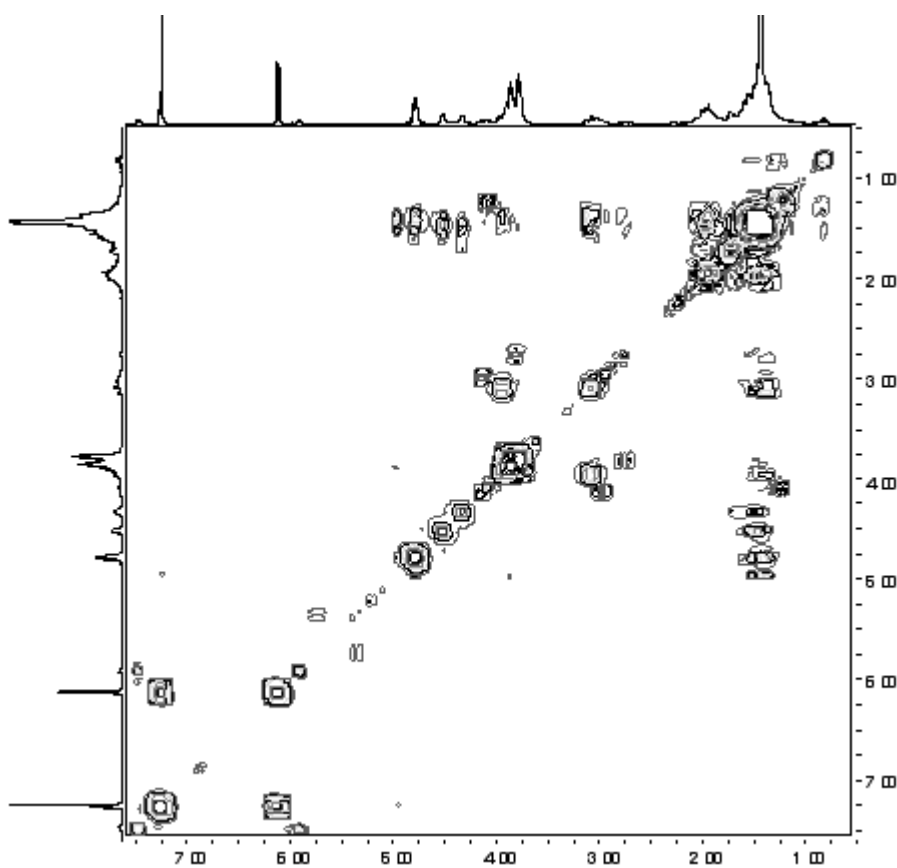
$^1\text{H-NMR}$ (250 MHz, CDCl_3) de **60** a 328 K



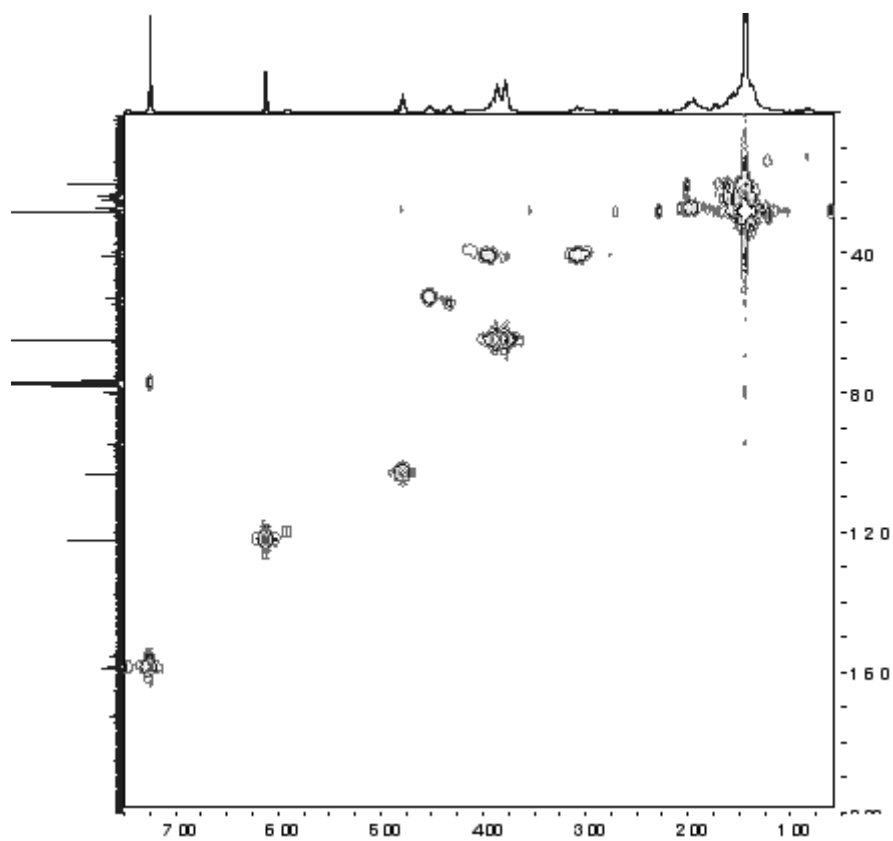




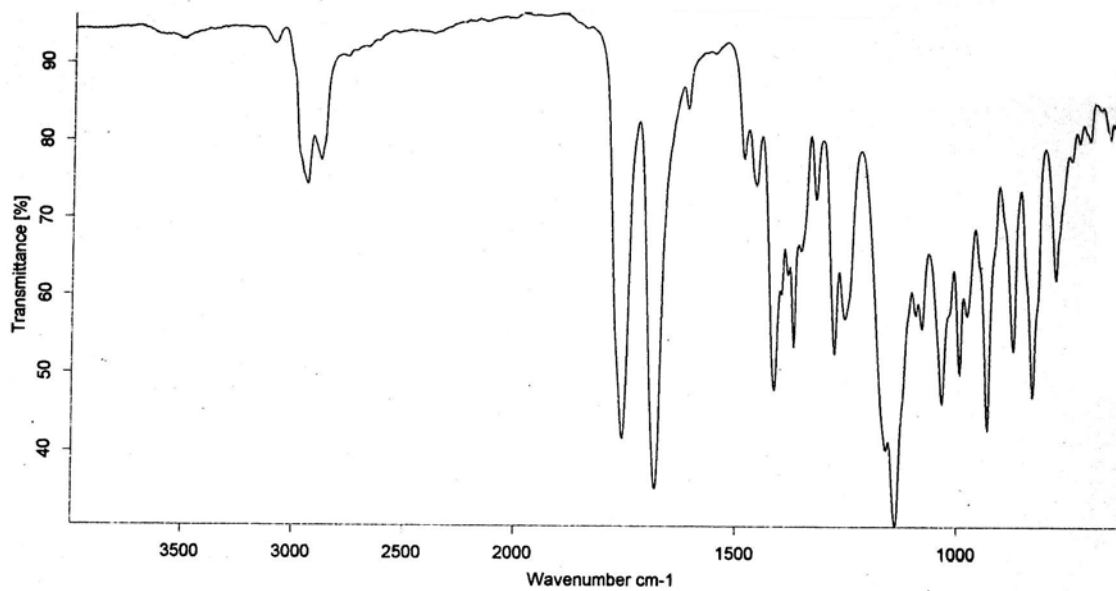
DEPT (62.5 MHz, CDCl_3) d'una barreja 6/1 de **60** i **61**



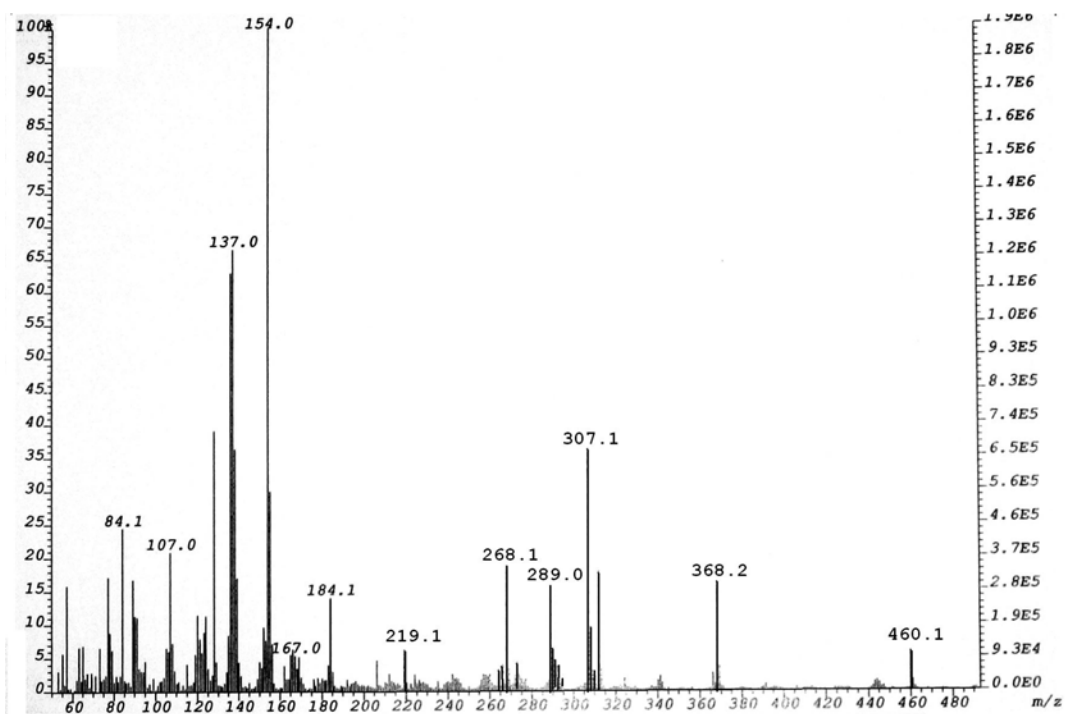
COSY (250 MHz, CDCl_3) d'una barreja 6/1 de **60** i **61**



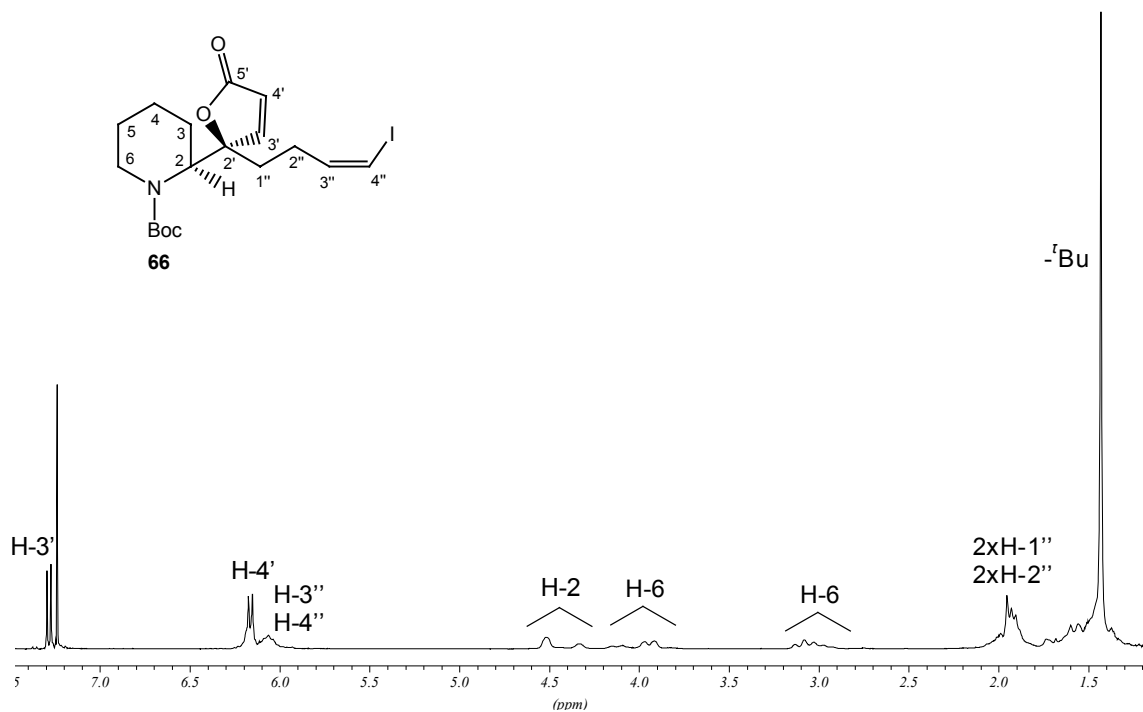
Correlació $^1\text{H}/^{13}\text{C}$ (250 MHz, CDCl_3) d'una barreja 6/1 de **60** i **61**



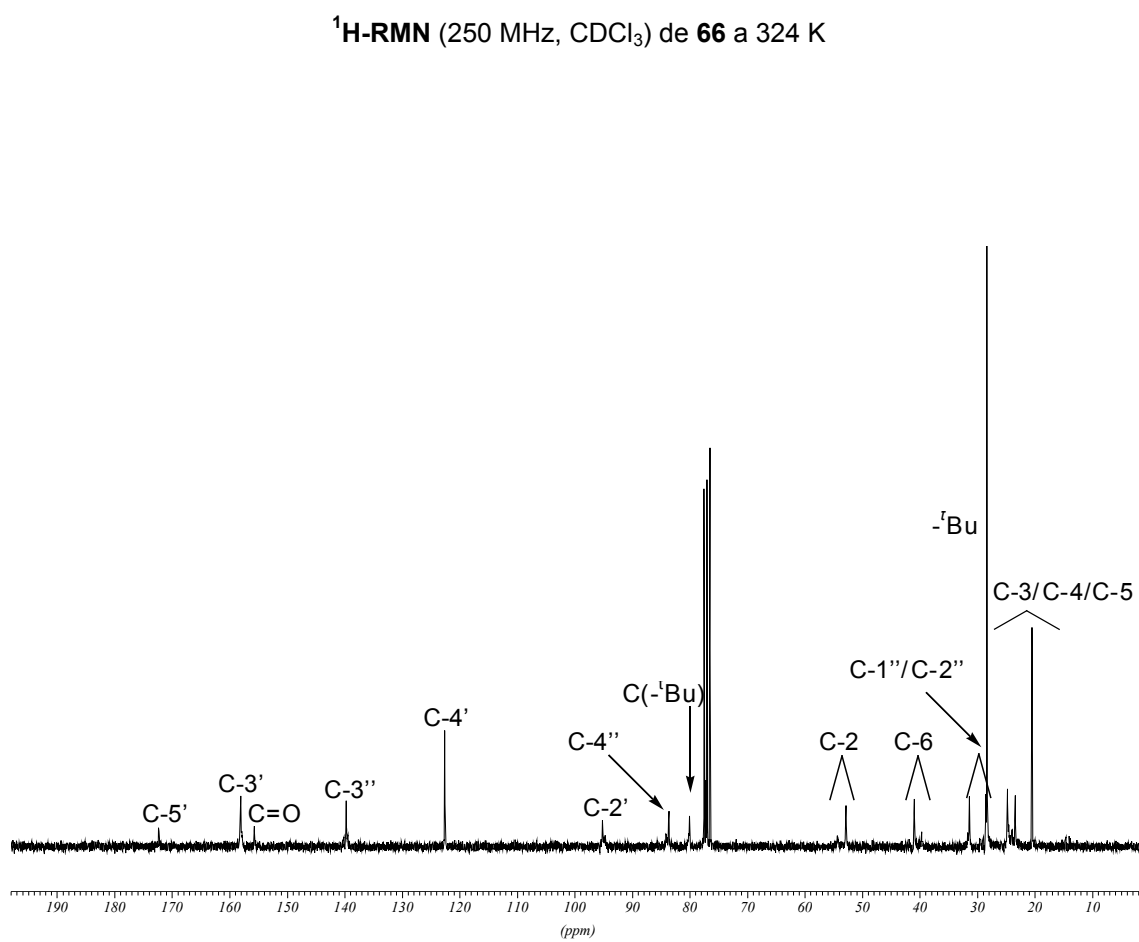
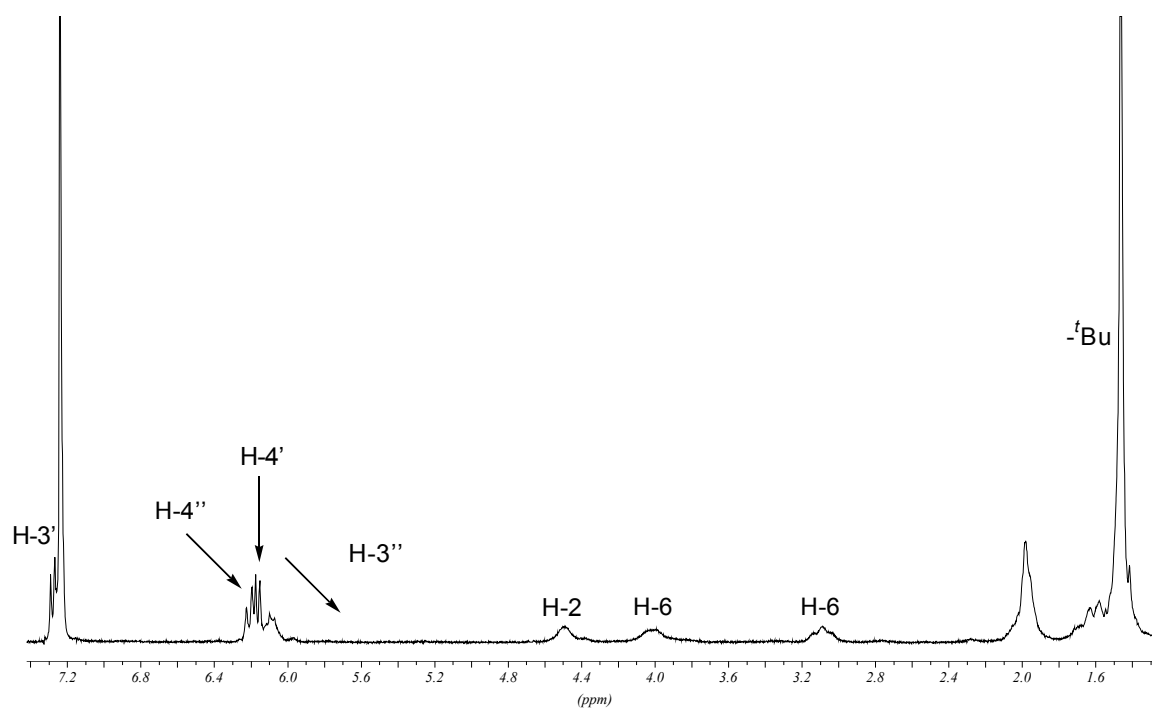
IR (ATR) d'una barreja 6/1 de **60** i **61**

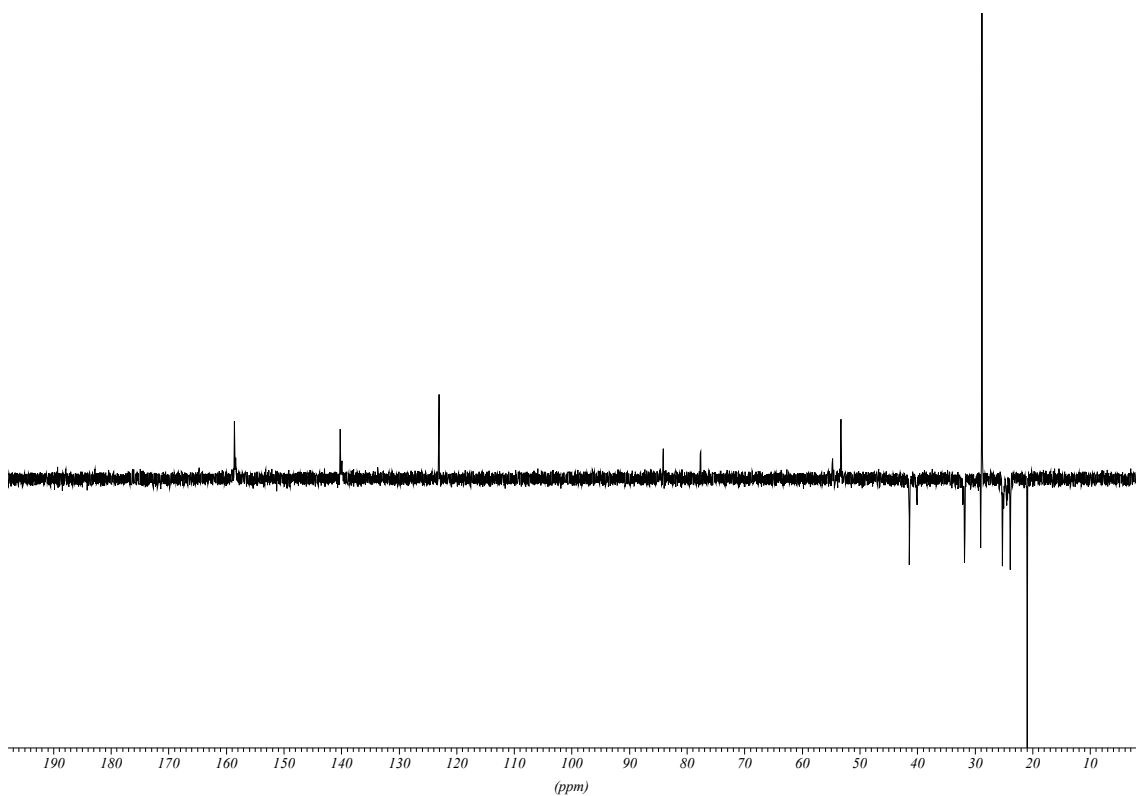


EM d'una barreja 6/1 de **60** i **61**

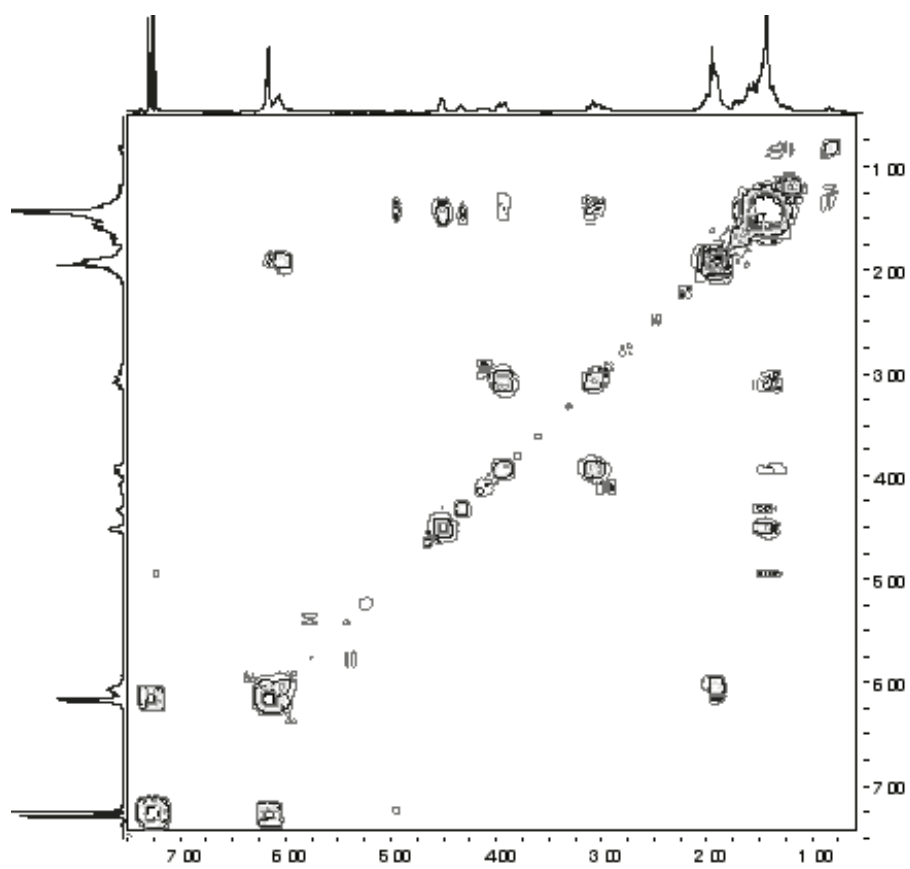


$^1\text{H-NMRN}$ (250 MHz, CDCl_3) de **66** a 298 K

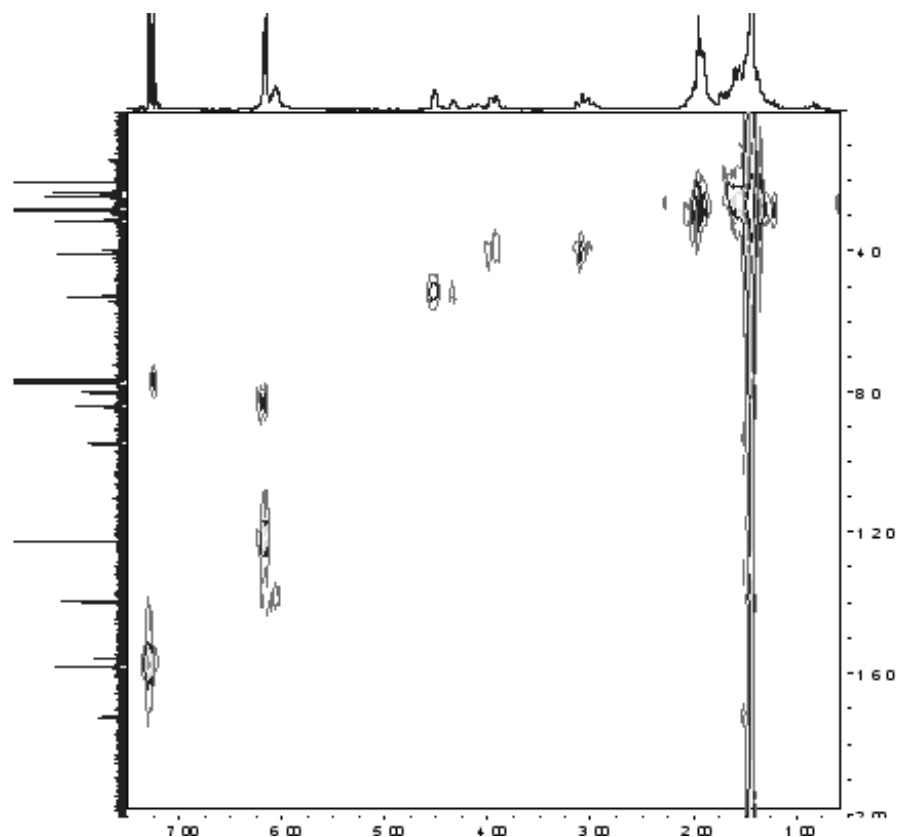




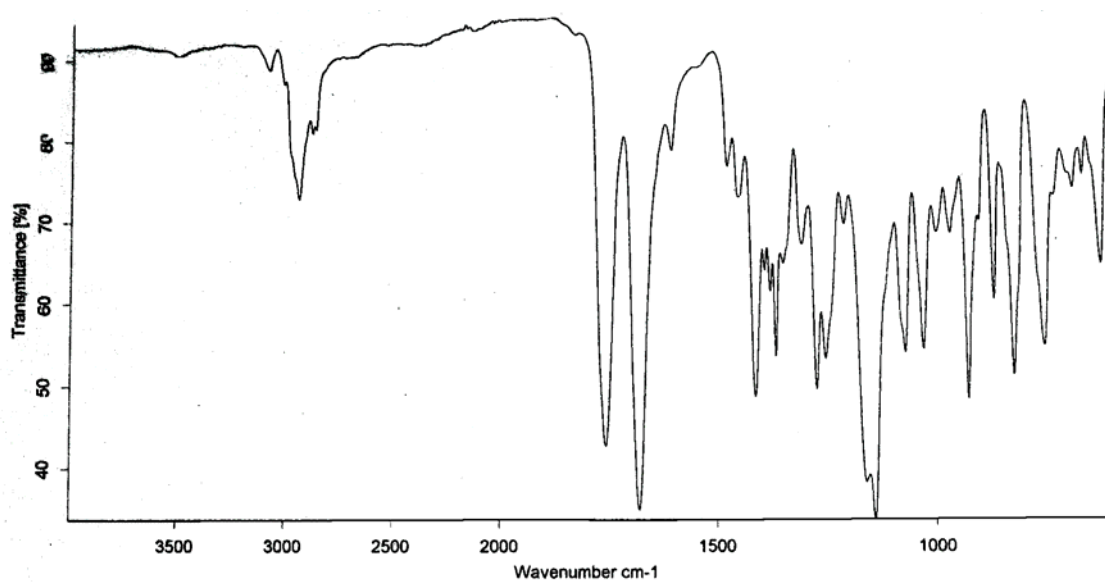
DEPT (62.5 MHz, CDCl₃) de **66**



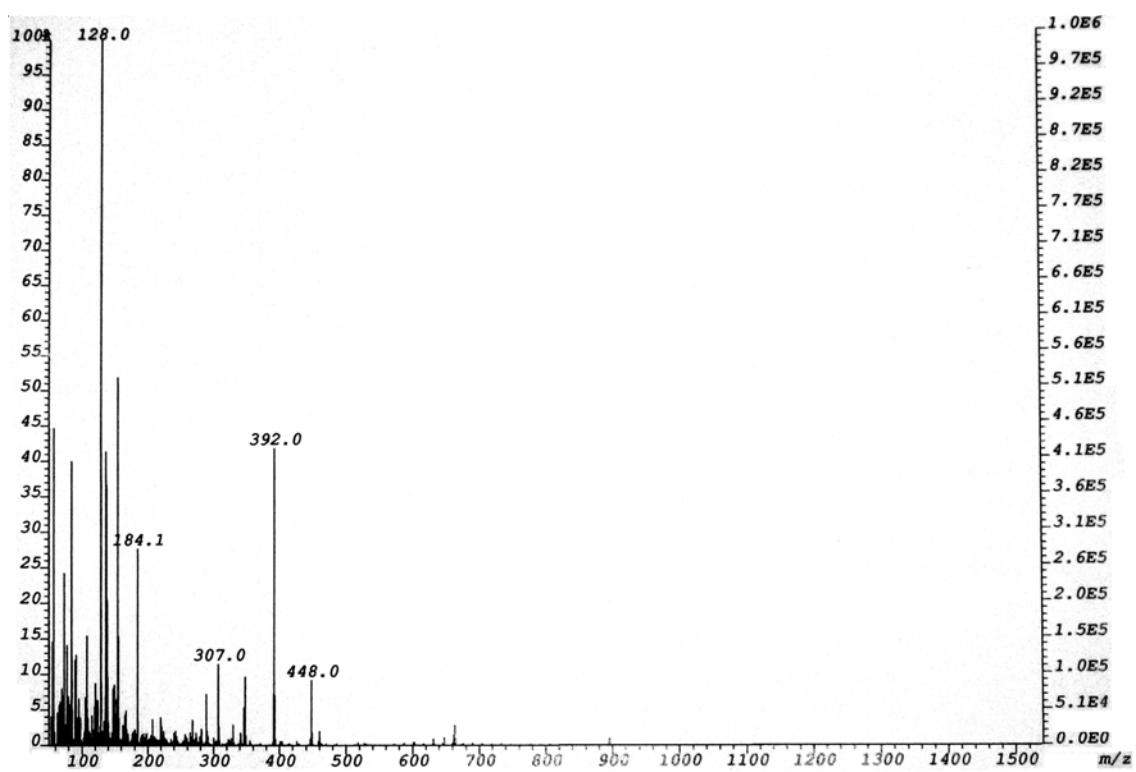
COSY (250 MHz, CDCl₃) de **66**



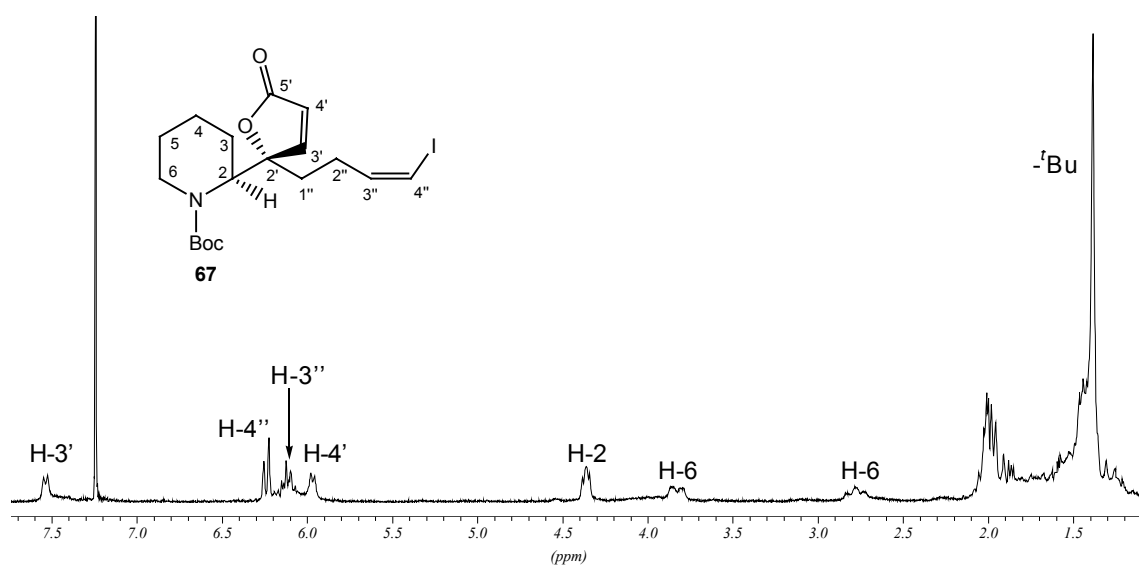
Correlació $^1\text{H}/^{13}\text{C}$ (250 MHz, CDCl_3) de **66**

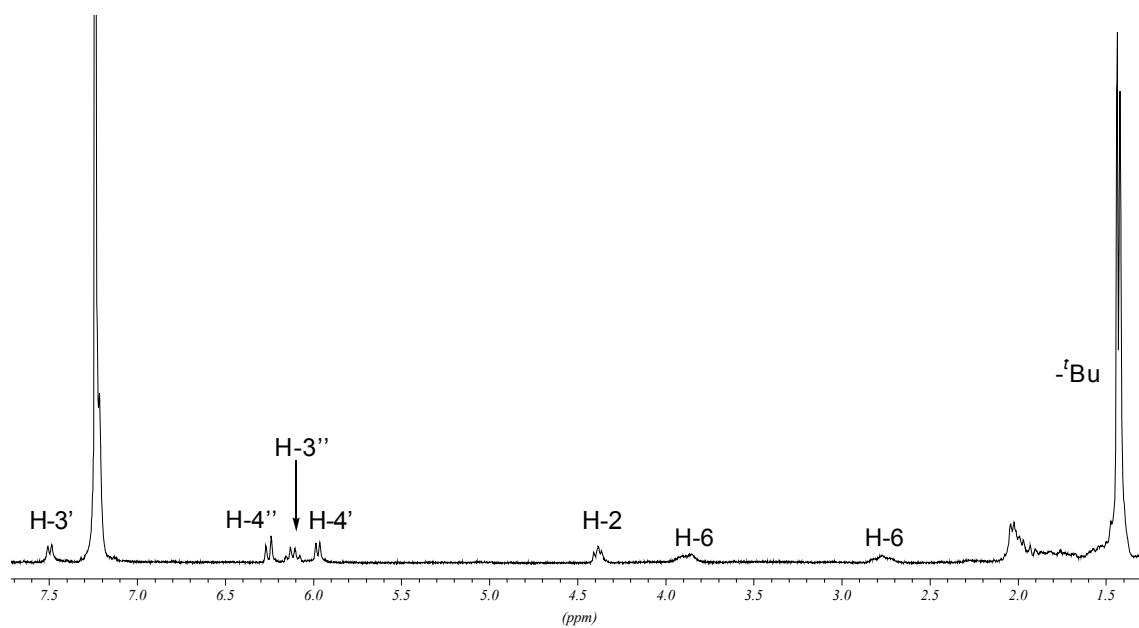
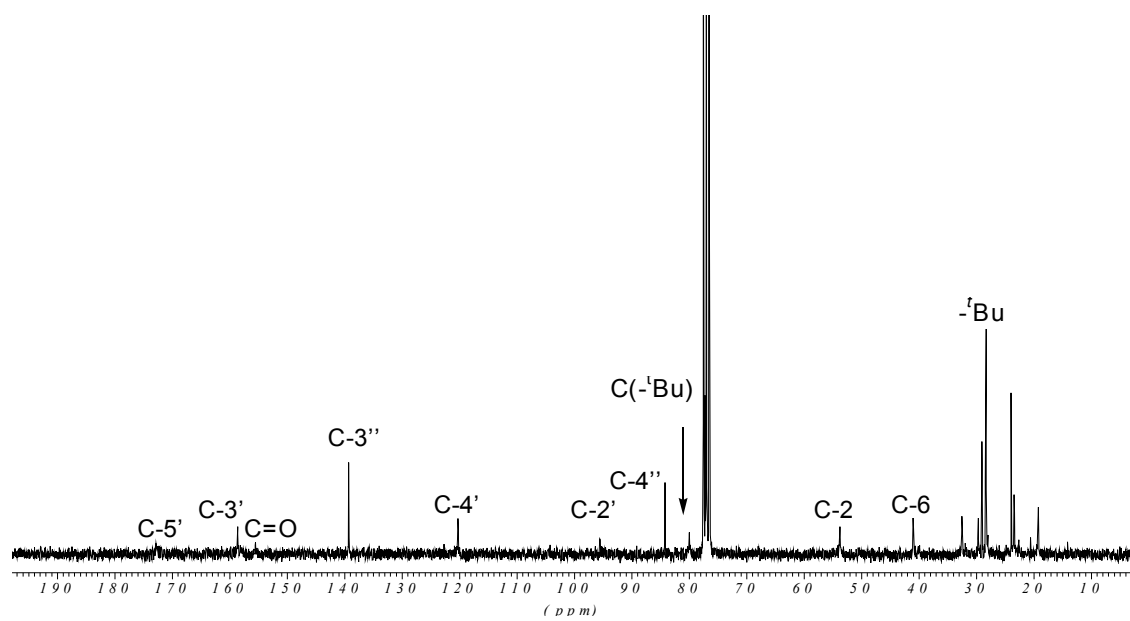


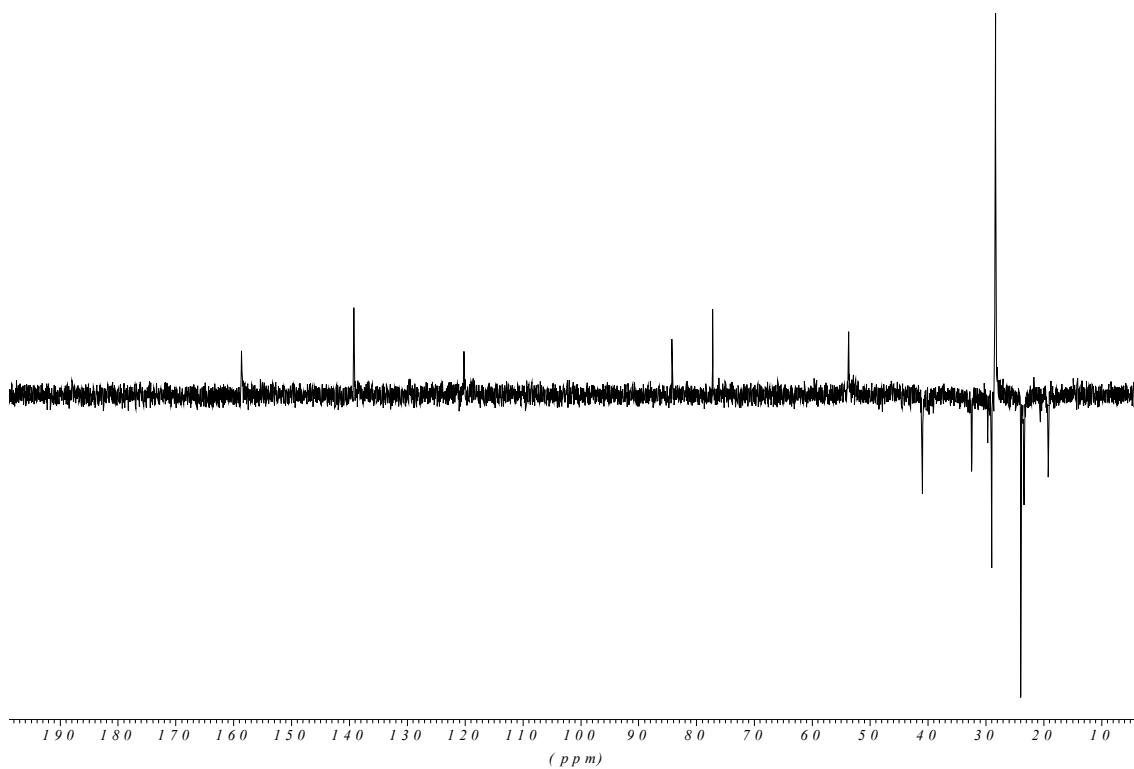
IR (ATR) de **66**



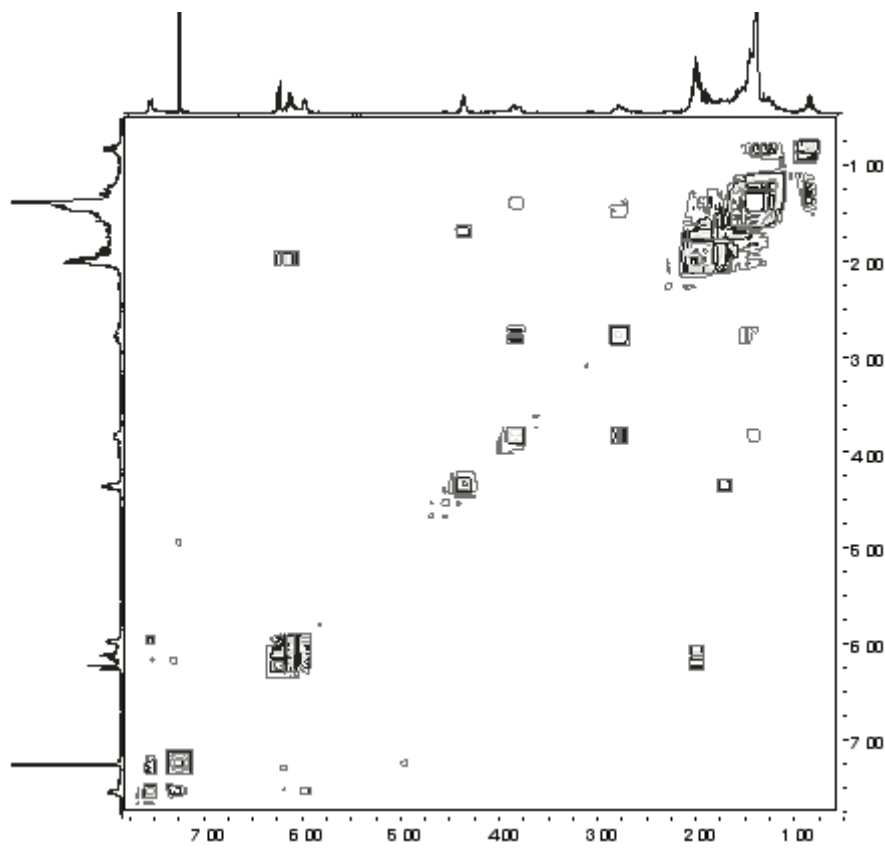
EM de 66

 $^1\text{H-RMN}$ (250 MHz, CDCl_3) de 67 a 298 K

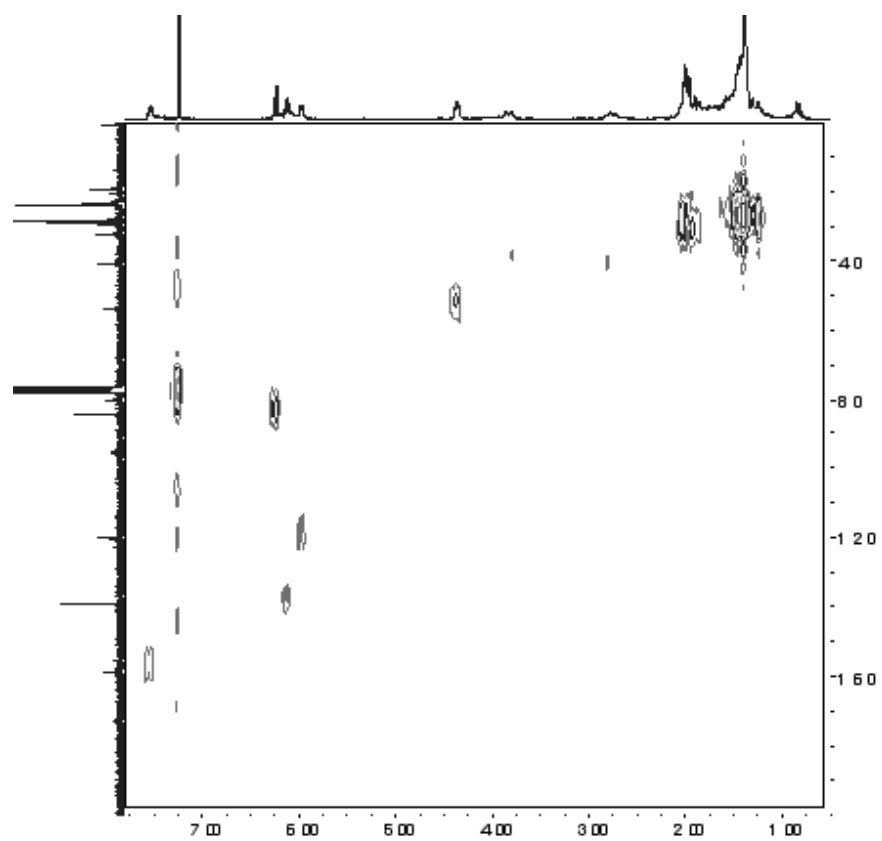
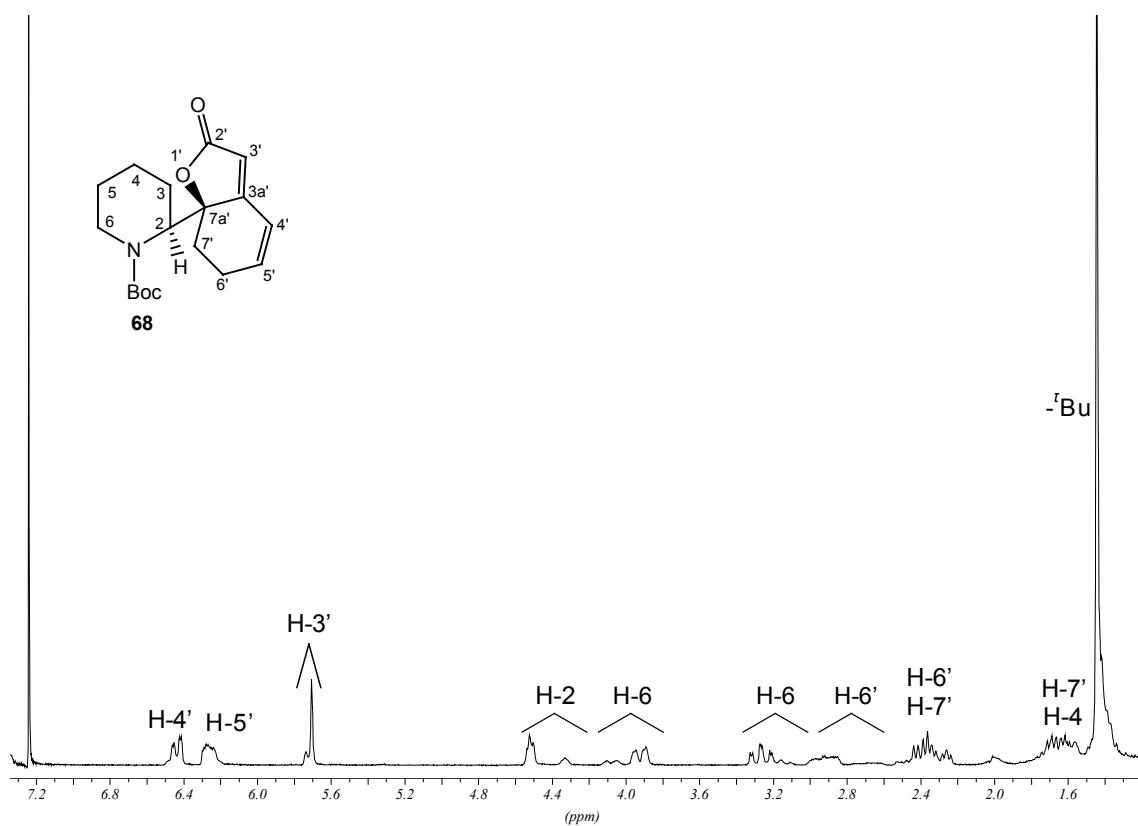
 ^1H -RMN (250 MHz, CDCl_3) de **67** a 324 K ^{13}C -RMN (62.5 MHz, CDCl_3) de **67**

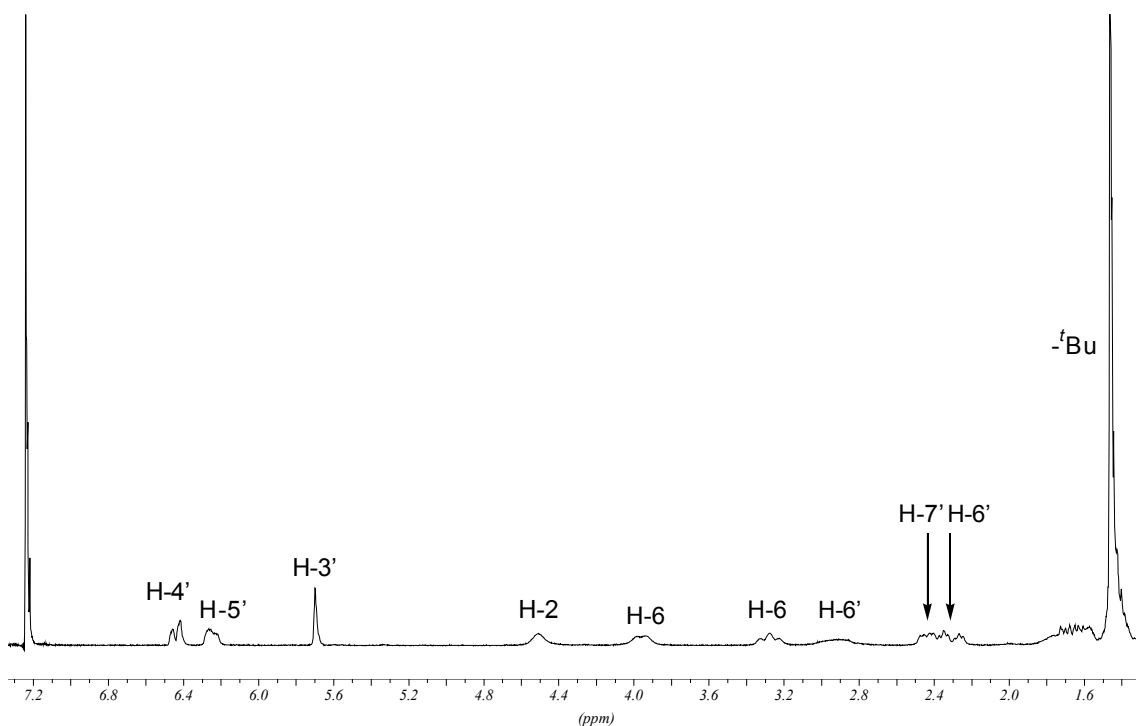


DEPT (62.5 MHz, CDCl₃) de **67**

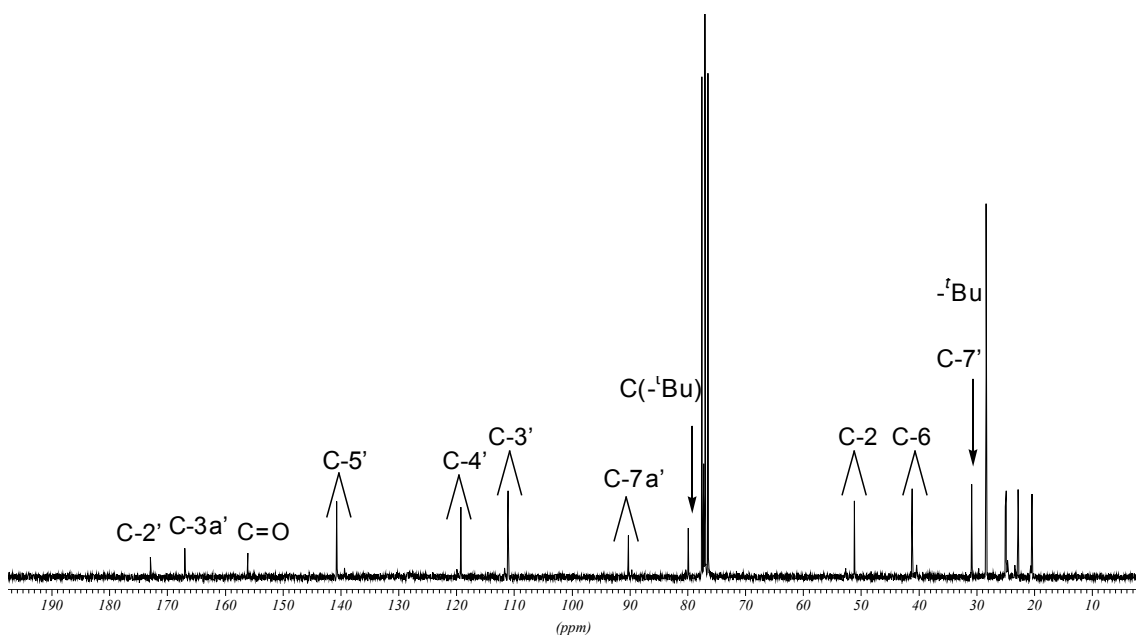


COSY (250 MHz, CDCl₃) de **67**

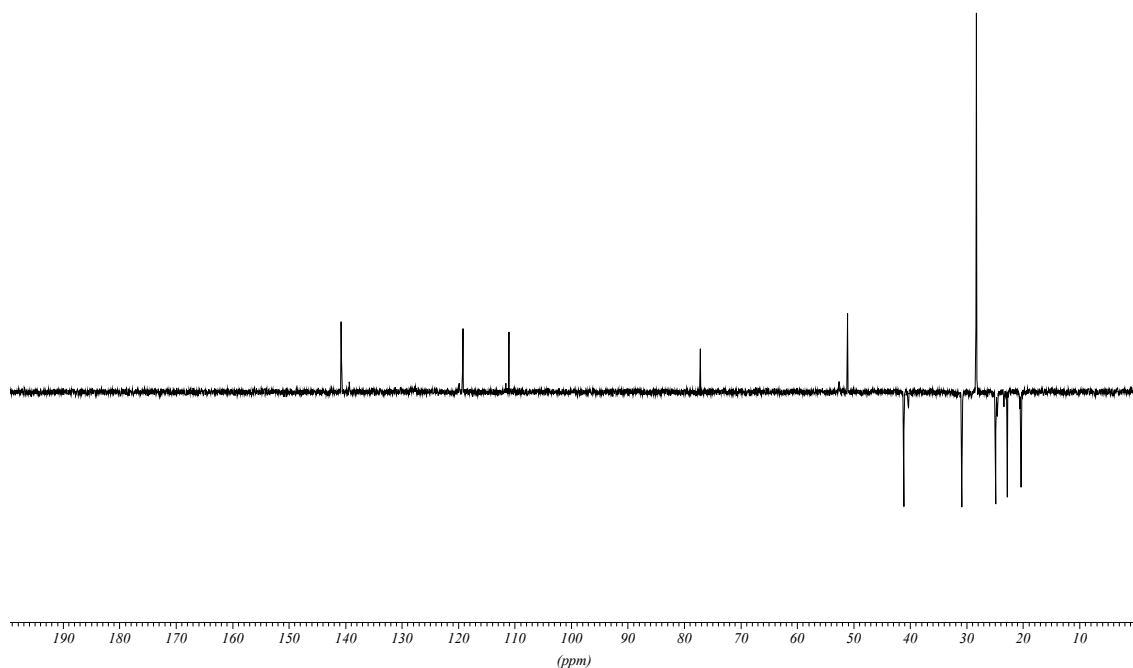
Correlació $^1\text{H}/^{13}\text{C}$ (250 MHz, CDCl_3) de **67** ^1H -RMN (250 MHz, CDCl_3) de **68** a 298 K



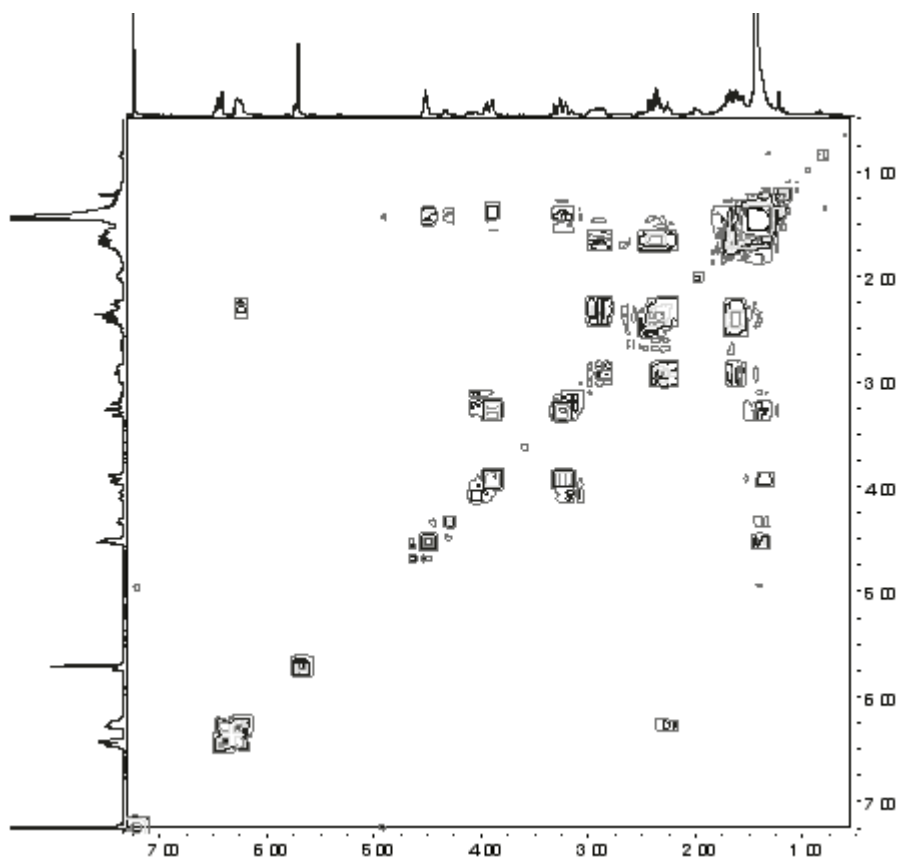
$^1\text{H-RMN}$ (250 MHz, CDCl_3) de **68** a 328 K



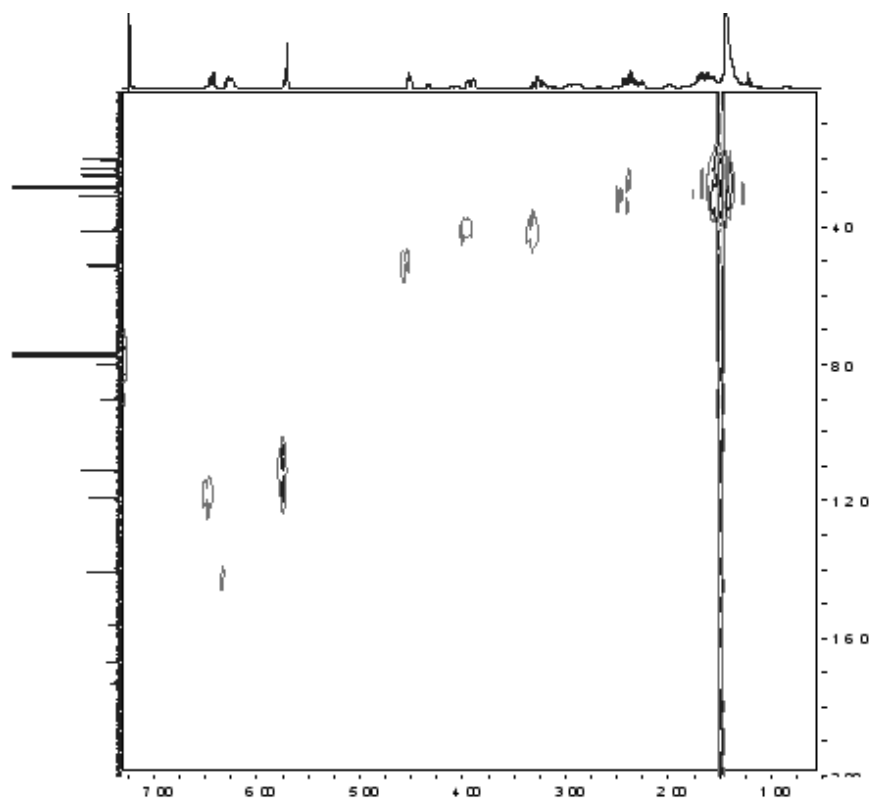
$^{13}\text{C-RMN}$ (62.5 MHz, CDCl_3) de **68**



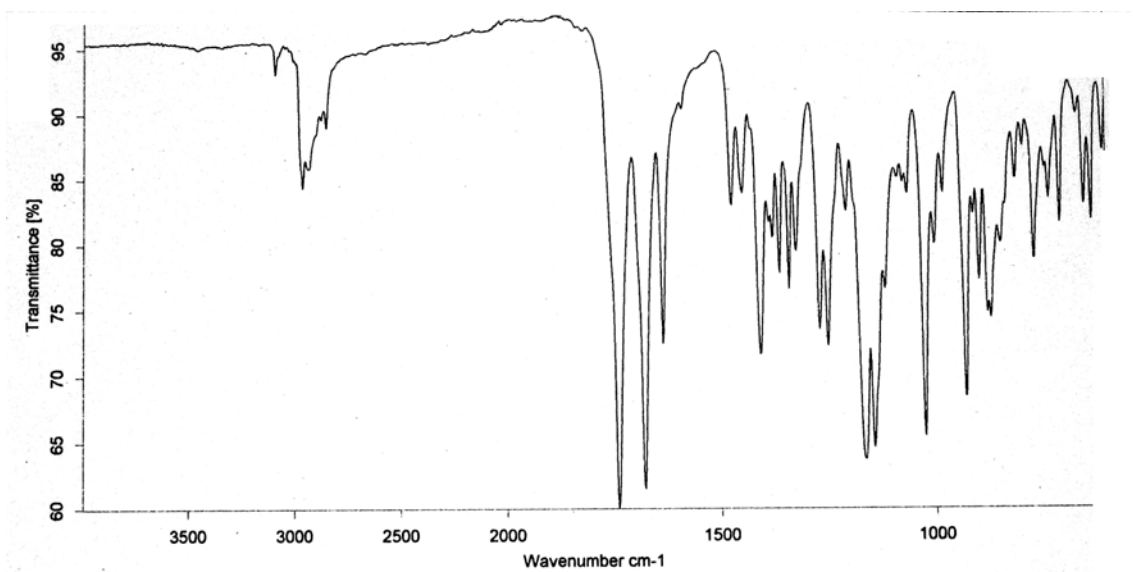
DEPT (62.5 MHz, CDCl₃) de 68



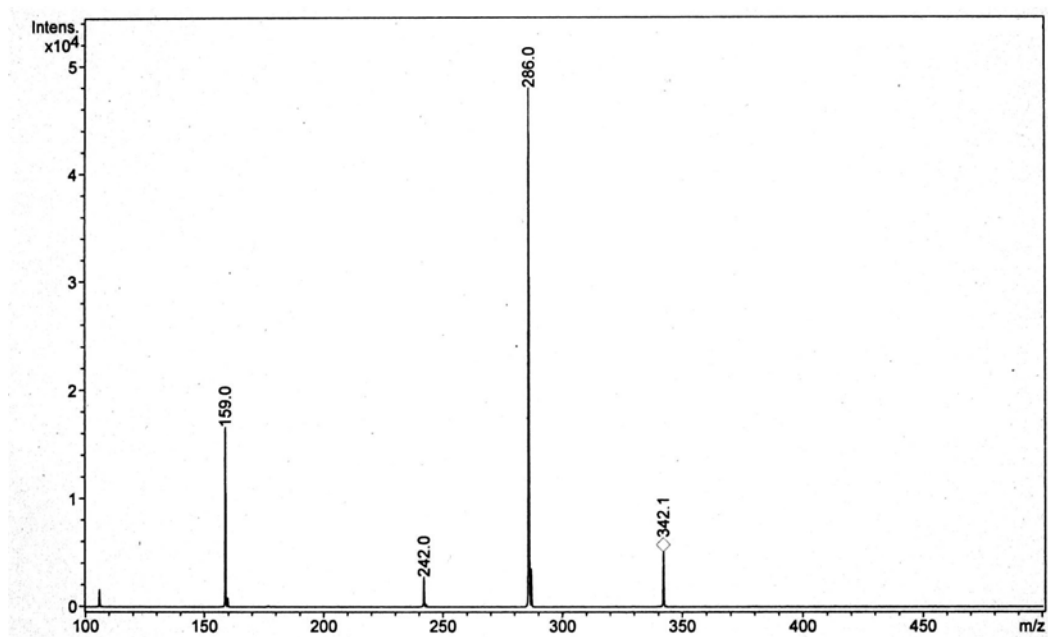
COSY (250 MHz, CDCl₃) de 68



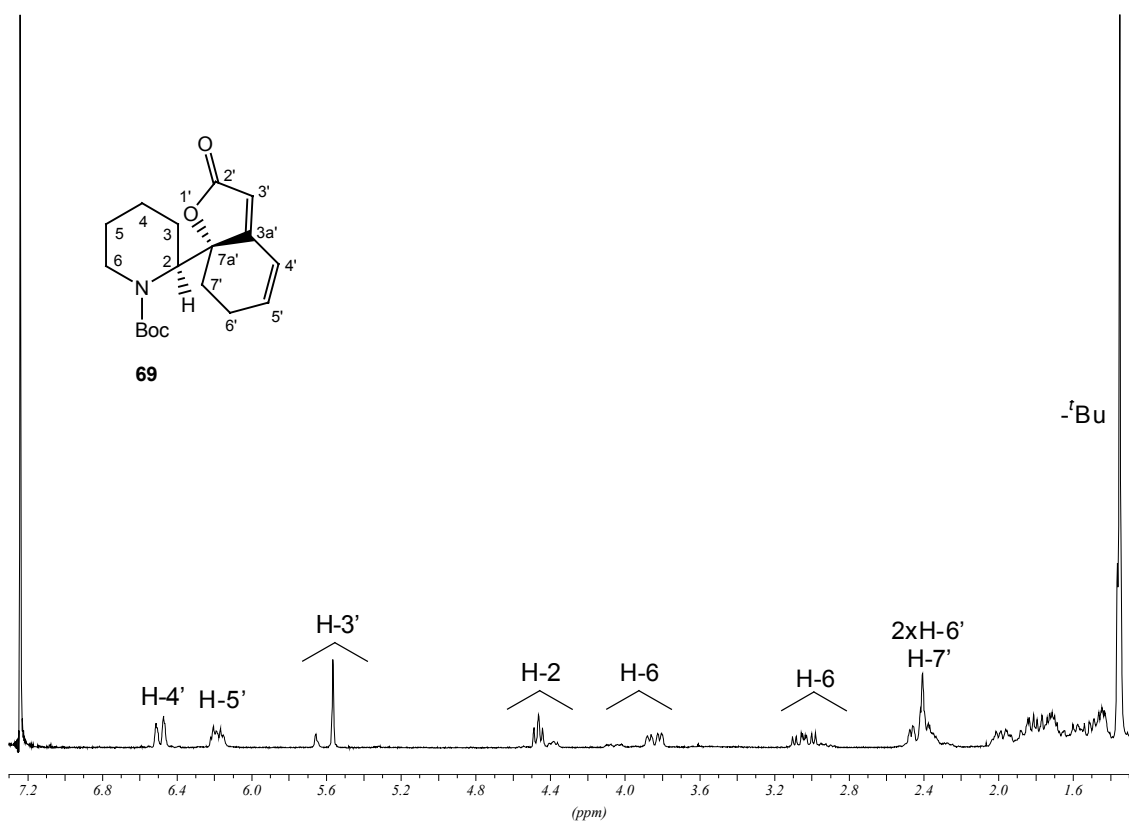
Correlació $^1\text{H}/^{13}\text{C}$ (250 MHz, CDCl_3) de **68**

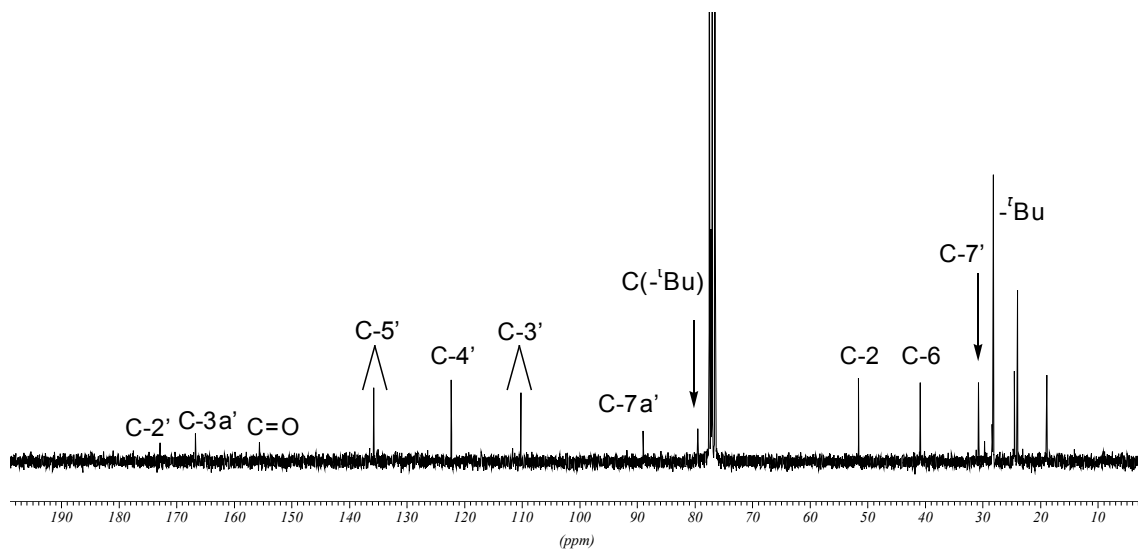


IR (ATR) de **68**

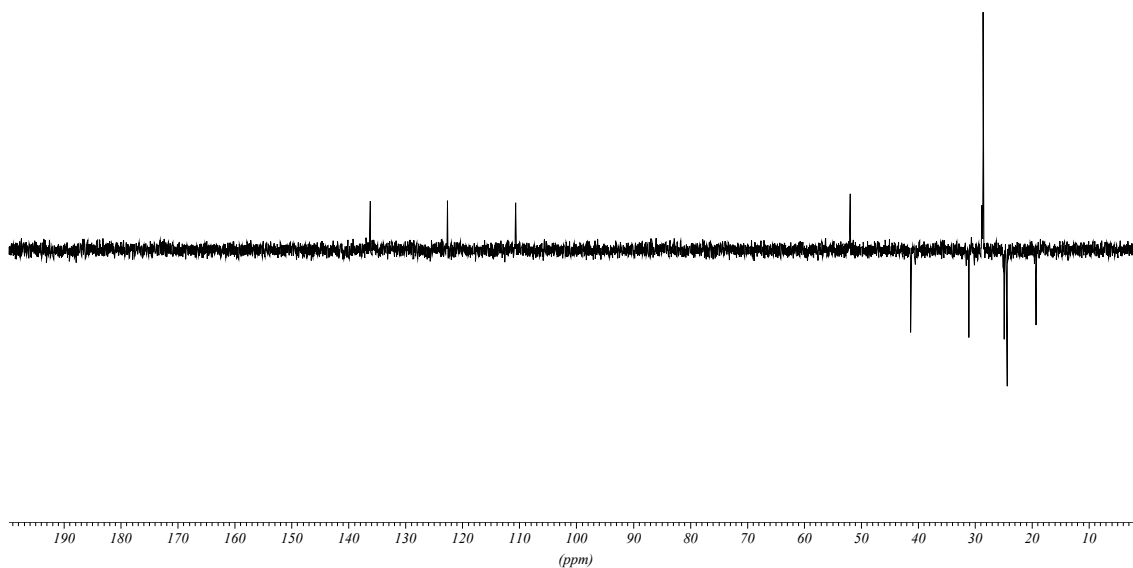


EM de 68

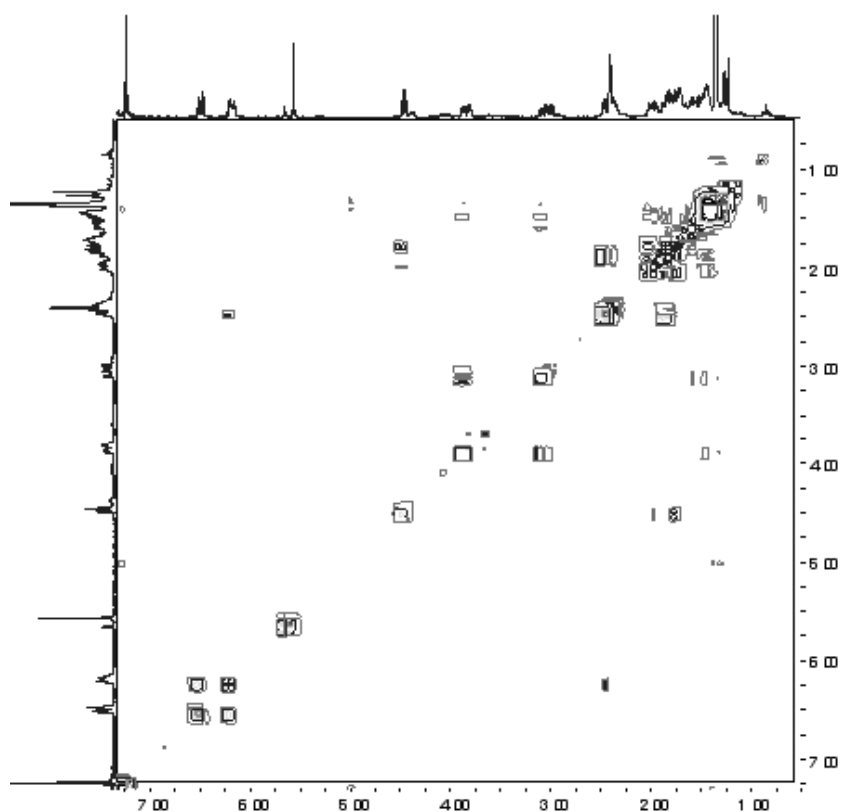
¹H-RMN (250 MHz, CDCl₃) de 69



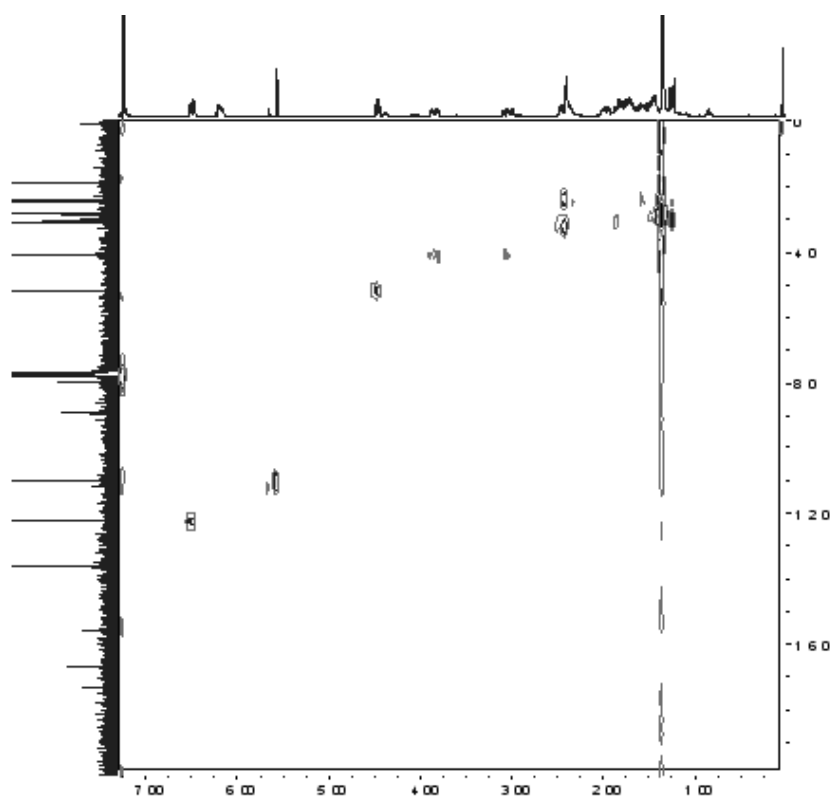
^{13}C -RMN (62.5 MHz, CDCl_3) de **69**



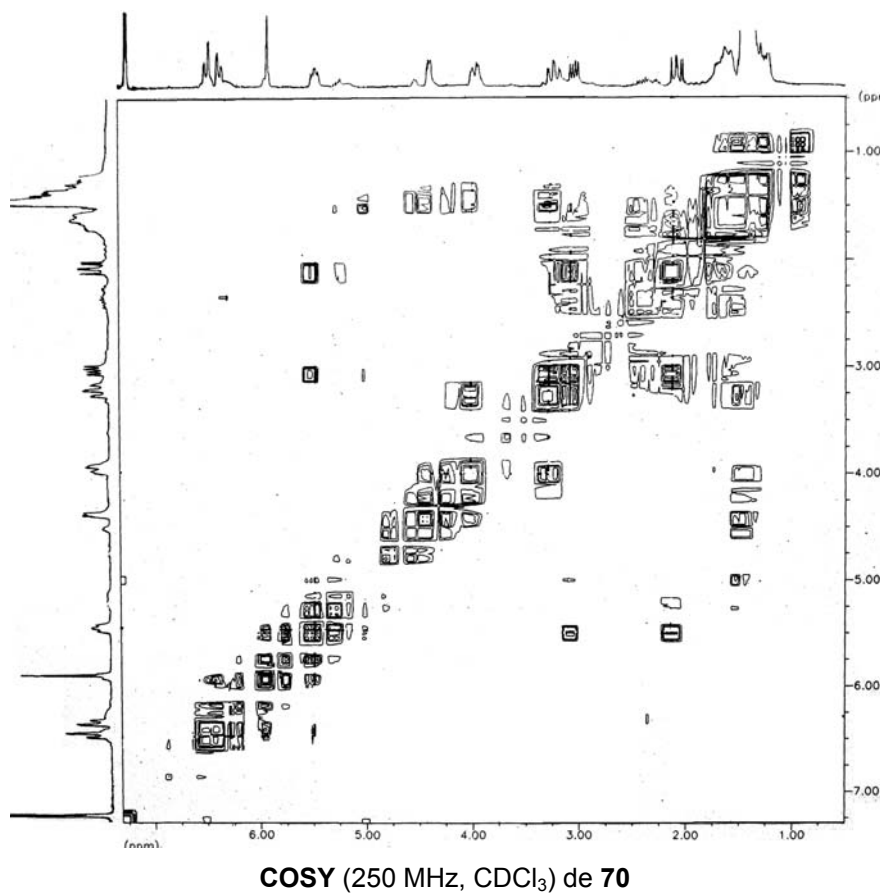
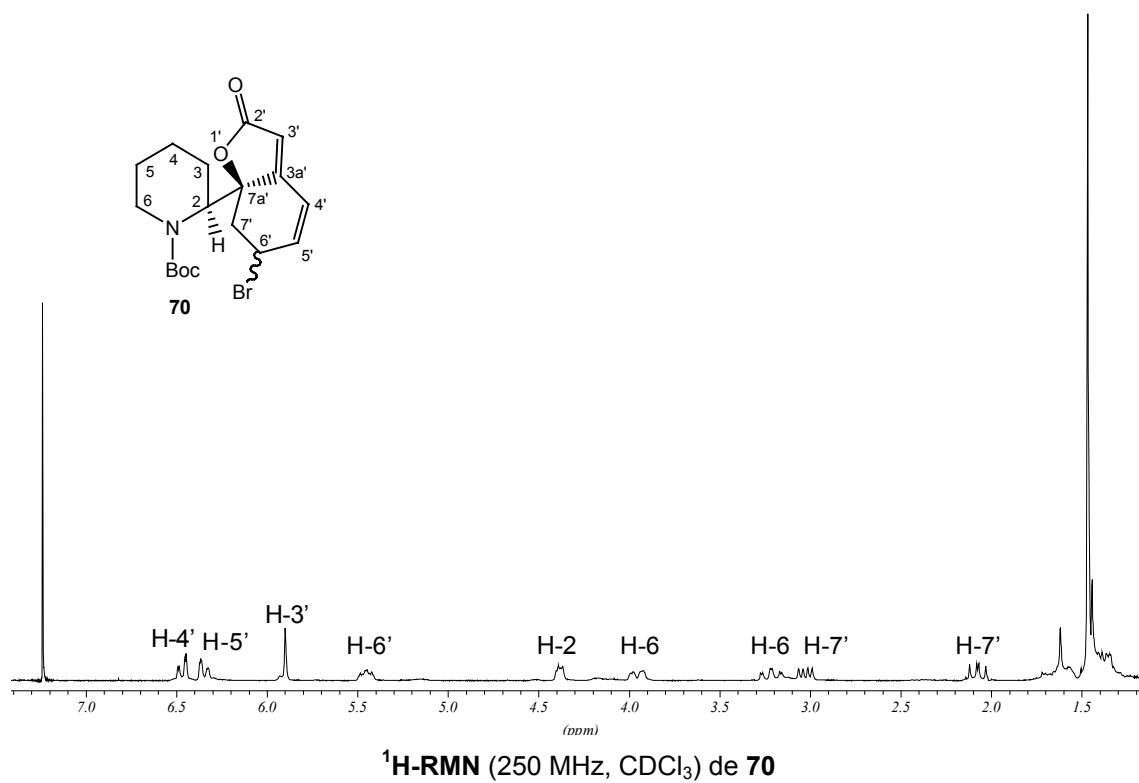
DEPT (62.5 MHz, CDCl_3) de **69**

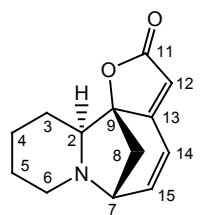


COSY (250 MHz, CDCl₃) de 69

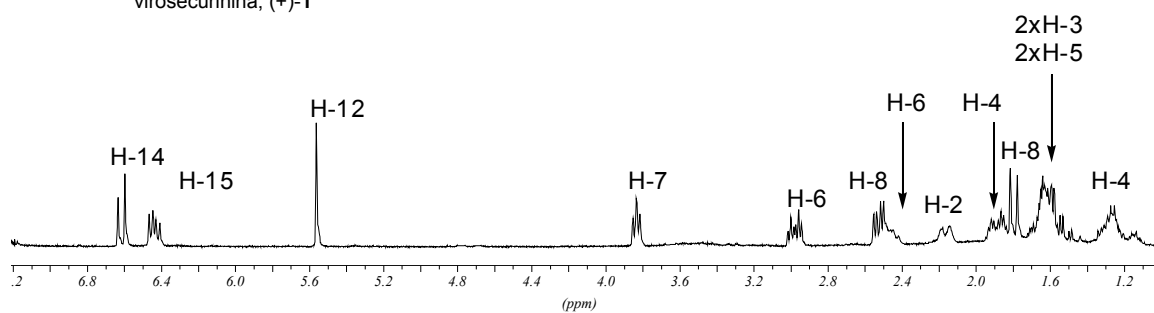
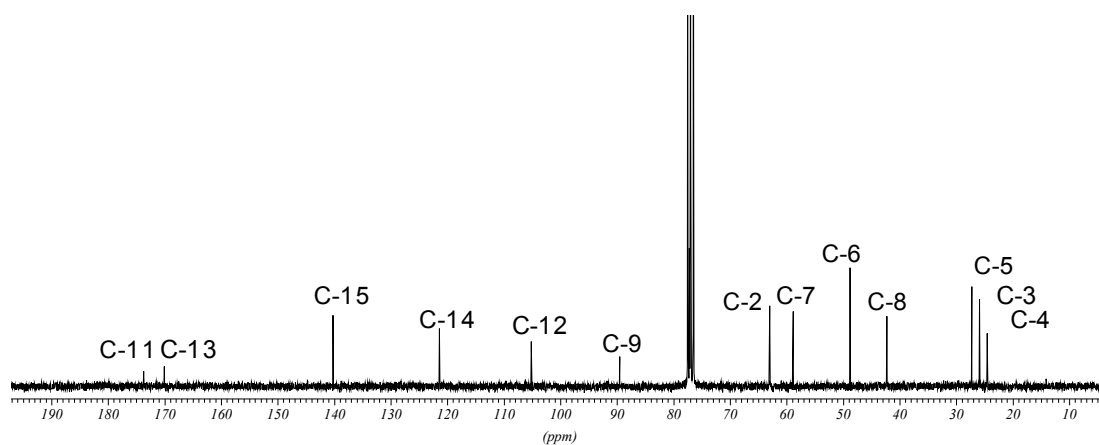


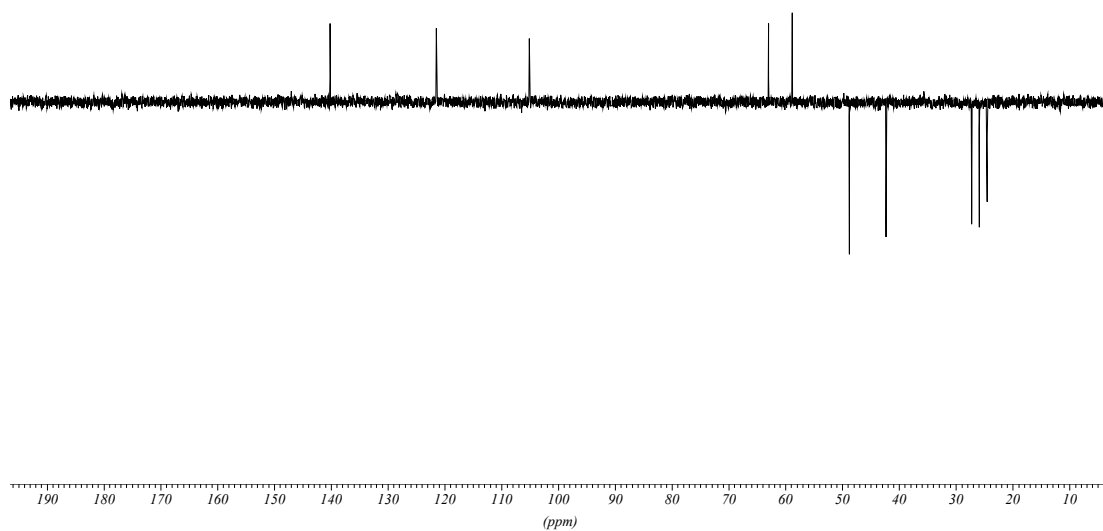
Correlació ¹H/¹³C (250 MHz, CDCl₃) de 69



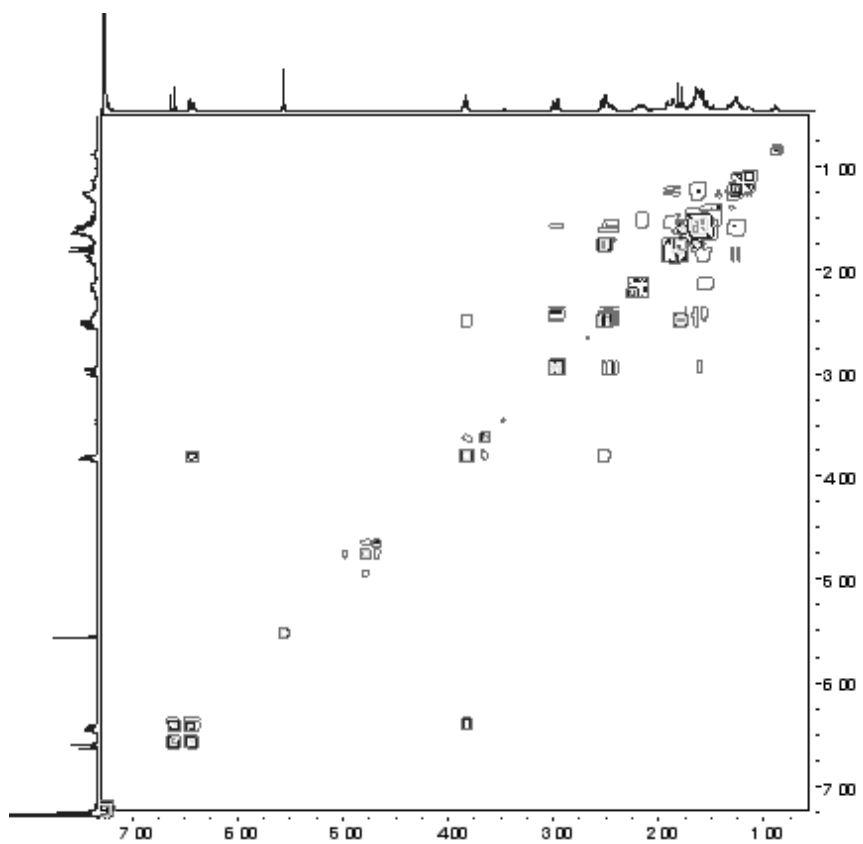


virosecurinina, (+)-1

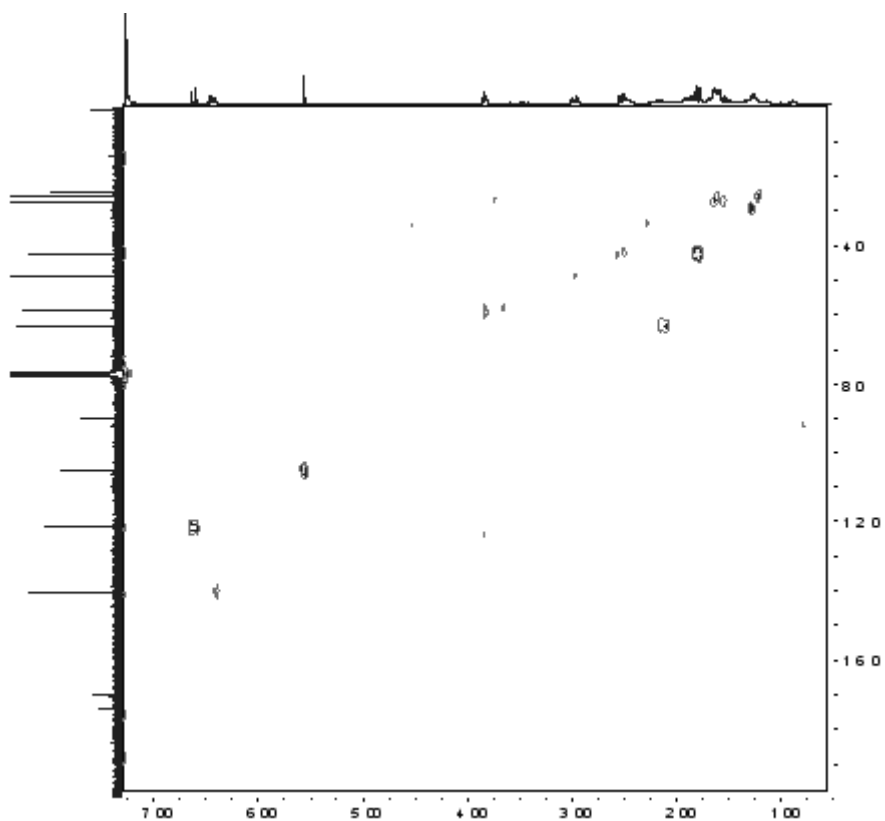
 $^1\text{H-RMN}$ (250 MHz, CDCl_3) de la virosecurinina, (+)-1 $^{13}\text{C-RMN}$ (62.5 MHz, CDCl_3) de la virosecurinina, (+)-1



DEPT (62.5 MHz, CDCl₃) de la virosecurinina, (+)-1



COSY (250 MHz, CDCl₃) de la virosecurinina, (+)-1



Correlació $^1\text{H}/^{13}\text{C}$ (250 MHz, CDCl_3) de la virosecurinina, (+)-1